

# Computergraphik II

Winter 2011/2012

## 3 Freiformkurven und -flächen

Versionsdatum: 11. Oktober 2011



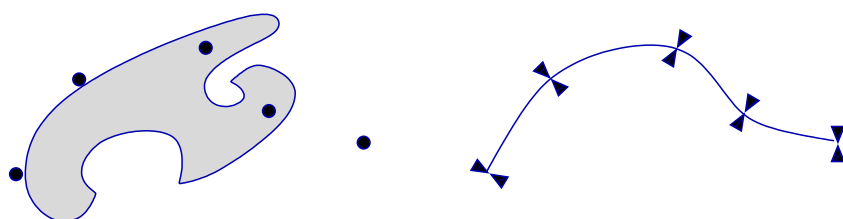
## 3 Freiformkurven und -flächen ...



### Bemerkung: Historie

**Ursprung der Geometrischen Modellierung:** Industrielle Fertigung i.w.  
Automobilbau

**vor 1960:** Verschiedene Zeichenmethoden wie z.B. Kurven- oder Stahllineal.



- Ungenauigkeit bei Übertragung auf reale Formen für Guß, Stanzen etc.
- Flächen nur über Kurvenscharen handhabbar

**nach 1960:** Übertragung zeichentechnischer Ansätze auf Computer  
(NC-Steuerung)

- Modellierung gekrümmte Objekte (Kurven aber auch Flächen)
- intuitiven Kontrollparametern mit hoher Flexibilität
- effizient auf Rechnern handhabbar (→ **Polynome!**)



## 3.1 Bézier-Kurven



**Ziel:** Kontrolle von Polynomen

**Beliebige Formen:** **Funktionsgraphen** genügen nicht!

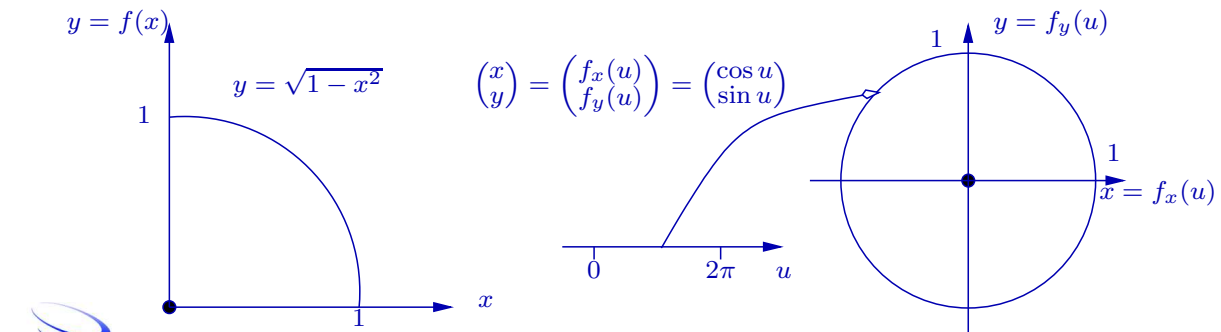
**Intuitive Form-Kontrolle:** **Monombasis**  $1, u, u^2, \dots$  geht nicht!

**Funktionsgraph vs. parametrische Kurve**

**Graph:** Abtragen des abhängigen Parameters  $y = f(x)$  über dem freien Parameter  $x$

**Param. Kurve:** Darstellung mehrerer abhängiger Parameter

$x = f_x(u), y = f_y(u), \dots$  ohne Raumbezug zum freien Parameter  $u$



## 3.1 Bézier-Kurven ...

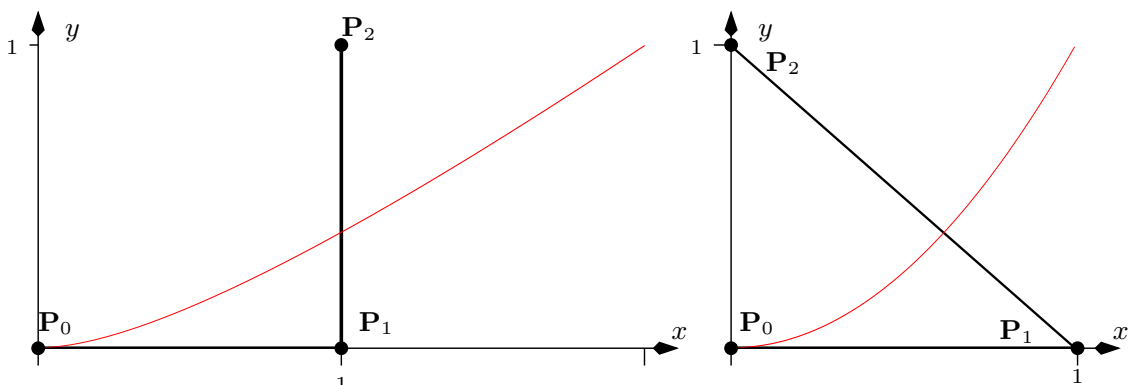


**Kontrolle von Polynomen mit Monombasis**

**Direkte Nutzung** der Monombasis für 2D parametrische Kurven vom Grad  $n$

$$\begin{pmatrix} f_x(u) \\ f_y(u) \end{pmatrix} = \sum_{i=0}^n \mathbf{P}_i u^i, \text{ mit } \mathbf{P}_i \in \mathbb{R}^2, i = 0, \dots, n, u \in [0, 1]$$

**Aber** kein intuitiver Zusammenhang zwischen „Parameterpunkten“  $\mathbf{P}_i$  und Verlauf der Kurve:



## 3.1 Bézier-Kurven ...

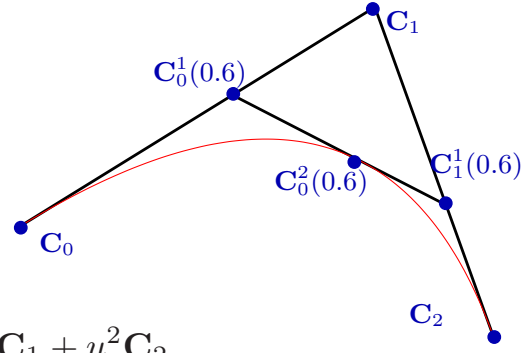


### Beispiel: Erzeugung von parametrischen Parabel-Kurven

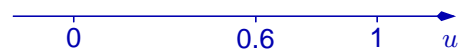
**Gegeben:** Drei Punkte:  $C_0, C_1, C_2 \in \mathbb{R}^2$

**Konstruktion:** Sei  $u \in [0, 1]$ , dann bilde

$$\begin{aligned} C_0^1(u) &= (1-u)C_0 + uC_1 \\ C_1^1(u) &= (1-u)C_1 + uC_2 \\ C(u) = C_0^2(u) &= (1-u)C_0^1 + uC_1^1 \\ &= (1-u)^2C_0 + 2(1-u)uC_1 + u^2C_2 \end{aligned}$$



**Eigenschaften** dieser Konstruktion:



1.  $C(u)$  ist **affine Kombination** der  $C_i$ , da  $(1-u)^2 + 2(1-u)u + u^2 = ((1-u) + u)^2 = 1$
2. **Endpunktinterpolation:**  $C_0^2(0) = C_0$ ,  $C_0^2(1) = C_2$
3.  $\{C(u) : u \in [0, 1]\} \subset \Delta(C_0, C_1, C_2)$ , also Kurve verläuft in **konvexer Hülle** der Kontrollpunkte, da Gewichte  $\geq 0$



## 3.1 Bézier-Kurven ...



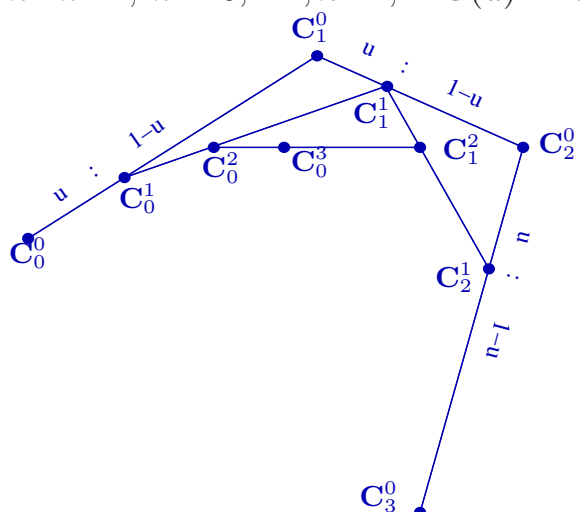
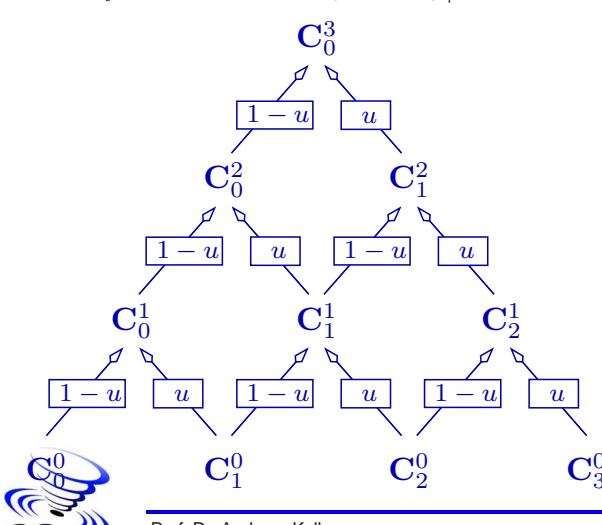
### Algorithmus: de Casteljau

**Gegeben:** Kontrollpunkte  $C_i$ ,  $i = 0, \dots, n$  für ein  $n \in \mathbb{N}$ , sowie der Parameter  $u \in [0, 1]$

**Initialisierung:**  $C_i^0 = C_i$ ,  $i = 0, \dots, n$

**Rekursion:** Affin-Kombinationen benachbarter Kontrollpunkte:

$$C_i^{k+1} = (1-u)C_i^k + uC_{i+1}^k, \quad i = 0, \dots, n-k-1, \quad k = 0, \dots, n-1, \quad C(u) = C_0^n$$

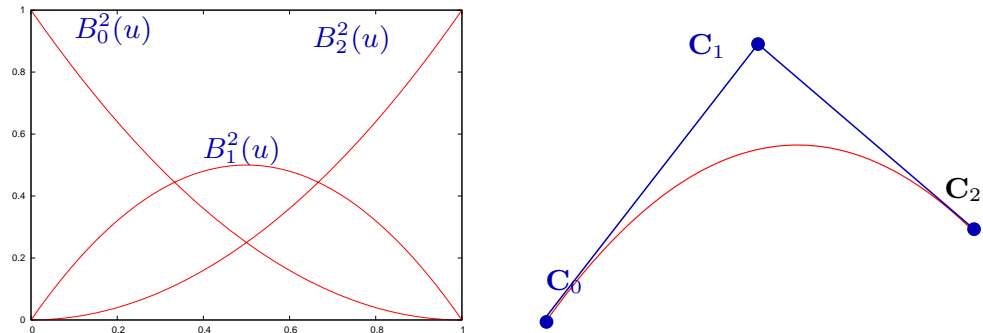


## 3.1 Bézier-Kurven ...

### Bezeichnung: Bézier-Kurven ( $n = 2$ )

**Parabel:**  $\mathbf{C}(u) = \underbrace{(1-u)^2}_{=B_0^2(u)} \mathbf{C}_0 + \underbrace{2(1-u)u}_{=B_1^2(u)} \mathbf{C}_1 + \underbrace{u^2}_{=B_2^2(u)} \mathbf{C}_2$

**Bernstein-Bézier-Polynome:** Gewichte  $B_i^2(u)$  der Affin-Kombination der  $\mathbf{C}_i$



**Beachte:**  $B_i^2(u)$  entsprechen variablen Gewichten einer Affin-Kombination



## 3.1 Bézier-Kurven ...

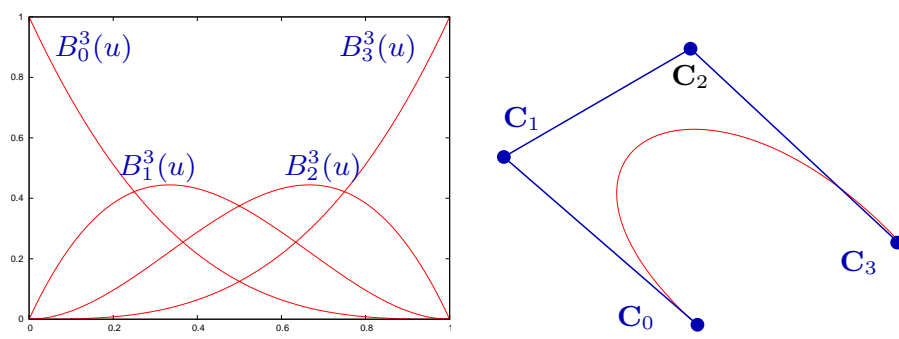
### Bezeichnung: Bézier-Kurven (allgemeiner Fall)

**Bernstein-Bézier-Polynome:** Für beliebiges  $n \in \mathbb{N}$  wird definiert:

$$\mathbf{C}(u) = \sum_{i=0}^n \mathbf{C}_i B_i^n(u), \text{ mit } B_i^n(u) = \binom{n}{i} u^i (1-u)^{n-i} \text{ und } \binom{n}{i} = \frac{n!}{i!(n-i)!}$$

**Bézier-Kurve:** Für Kontrollpunkte  $\mathbf{C}_0, \dots, \mathbf{C}_n$  ist:  $\mathbf{C}(u) = \sum_{i=0}^n B_i^n(u) \mathbf{C}_i$

**Kubischer Fall  $n = 3$ :** Häufig kommen Bézier-Kurven vom Grad 3 zum Einsatz:



## 3.1 Bézier-Kurven ...

### Eigenschaften der Bernstein-Bézier-Polynome

**Polynom-Basis:** Polynome  $\mathbf{P} \in \mathcal{P}^n$  vom Grad  $n$  können als Bézier-Kurve dargestellt werden:

$$\forall \mathbf{P}(u) = \sum_{i=0}^n \mathbf{A}_i u^i : \exists_1 \mathbf{C}_i, i = 0, \dots, n : \mathbf{P}(u) = \sum_{i=0}^n \mathbf{C}_i B_i^n(u)$$

**Positivität:** Für  $u \in [0, 1]$  gilt stets:  $B_i^n(u) \geq 0$

**Endpunktverhalten:**  $B_i^n(0) = \begin{cases} 1 & \text{falls } i = 0 \\ 0 & \text{sonst} \end{cases}$        $B_i^n(1) = \begin{cases} 1 & \text{falls } i = n \\ 0 & \text{sonst} \end{cases}$

**Zerlegung der 1:**  $1 = [u + (1 - u)]^n = \sum_{i=0}^n \binom{n}{i} u^i (1 - u)^{n-i} = \sum_{i=0}^n B_i^n(u)$

**Ableitung:**

$$(B_i^n)'(u) = \begin{cases} -nB_0^{n-1}(u) & \text{falls } i = 0 \\ nB_{n-1}^{n-1}(u) & \text{falls } i = n \\ n(B_{i-1}^{n-1}(u) - B_i^{n-1}(u)) & \text{falls } 0 < i < n \end{cases}$$



## 3.1 Bézier-Kurven ...

### Eigenschaften der Bézier-Kurven

**Endpunktinterpolation:**  $\mathbf{C}(0) = \mathbf{C}_0, \mathbf{C}(1) = \mathbf{C}_n$ , da  $B_0^n(0) = B_n^n(1) = 1$ , sonst  $B_i^n(0) = B_i^n(1) = 0$

**Globaler Einfluss der  $\mathbf{C}_i$ :**  $\mathbf{C}_i$  beeinflusst  $\mathbf{C}(u)$ ,  $u \in ]0, 1[$ , da hier  $B_i^n(u) \neq 0, \forall i$

**Affine Invarianz:** Die Kurve  $\mathbf{C}$  ist affin invariant bzgl. seiner Kontrollpunkte:

$$T \text{ affine Abbildung} \implies T(\mathbf{C}(u)) = \sum_{i=0}^n T(\mathbf{C}_i) B_i^n(u) \quad \text{da} \quad \sum B_i^n \equiv 1$$

**Konvexe Hülle:** Aufgrund der Positivität der  $B_i^n$  und der affinen Invarianz verläuft  $\mathbf{C}(u)$ ,  $u \in [0, 1]$  innerhalb der konvexen Hülle der Kontrollpunkte

**Variation Diminishing Property (ohne Beweis):** Die Bézier-Kurve hat max. soviele Wendepunkte wie ihr Kontrollpolygon:

Fall  $n = 2$ :  $\forall$  Gerade  $g$  gilt:  $\#\{g \cap \text{Kontrollpolygon}\} \geq \#\{g \cap \text{Kurve}\}$

Fall  $n = 3$ :  $\forall$  Ebene  $E$  gilt:  $\#\{E \cap \text{Kontrollpolygon}\} \geq \#\{E \cap \text{Kurve}\}$



## 3.1 Bézier-Kurven ...

### Eigenschaften der Bézier-Kurven (Forts.)

**Ableitung:** Bézier-Darstellung der ersten Ableitung:

$$\begin{aligned}\mathbf{C}'(u) &= n \left( -\mathbf{C}_0 B_0^{n-1}(u) + \mathbf{C}_n B_{n-1}^{n-1}(u) + \sum_{i=1}^{n-1} \mathbf{C}_i [B_{i-1}^{n-1}(u) - B_i^{n-1}(u)] \right) \\ &= n \sum_{i=0}^{n-1} (\mathbf{C}_{i+1} - \mathbf{C}_i) B_i^{n-1}(u)\end{aligned}$$

**End-Tangenten (Spezialfall):** Für  $u \in \{0, 1\}$  gilt:

$$\mathbf{C}'(0) = n(\mathbf{C}_1 - \mathbf{C}_0) \quad \mathbf{C}'(1) = n(\mathbf{C}_n - \mathbf{C}_{n-1})$$

**Bezug zu de Casteljau:** Die letzte Kante des de Casteljau-Schemas entspricht der Tangentenrichtung der Kurve:

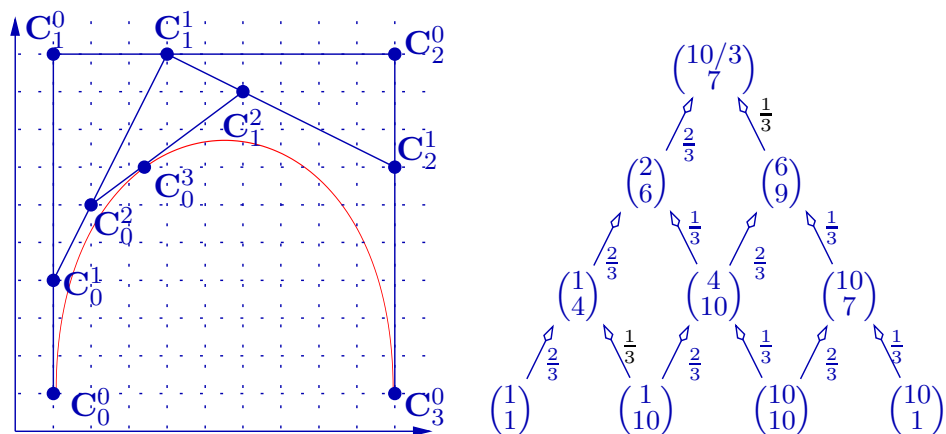
$$\mathbf{C}'(u) = n(\mathbf{C}_1^{n-1} - \mathbf{C}_0^{n-1})$$



## 3.1 Bézier-Kurven ...

### Beispiel:

Gegeben: Punkte  $\mathbf{C}_0 = \begin{pmatrix} 1 \\ 1 \end{pmatrix}, \mathbf{C}_1 = \begin{pmatrix} 1 \\ 10 \end{pmatrix}, \mathbf{C}_2 = \begin{pmatrix} 10 \\ 10 \end{pmatrix}, \mathbf{C}_3 = \begin{pmatrix} 10 \\ 1 \end{pmatrix}$ . Gesucht:  $\mathbf{C}(\frac{1}{3})$



**Endpunkte:**  $\mathbf{C}(0) = \mathbf{C}_0 = (1, 1)$ ,  $\mathbf{C}(1) = \mathbf{C}_3 = (10, 1)$

**Ableitung:**  $\mathbf{C}'(\frac{1}{3}) = 3 \left( \binom{6}{9} - \binom{2}{6} \right) = \binom{12}{9}$  und

$$\mathbf{C}'(u) = 3 \sum_{i=0}^2 (\mathbf{C}_{i+1} - \mathbf{C}_i) B_i^2(u) = 3 \left( \binom{0}{9} B_0^2(u) + \binom{9}{0} B_1^2(u) + \binom{0}{-9} B_2^2(u) \right)$$



## 3.1 Bézier-Kurven ...

### Auswertung von Polynomkurven

**Bewertung de Casteljau:** ○ sehr stabil (nur Interpolation)

○ Komplexität:  $\mathcal{O}(n^2)$  pro Auswertung, genauer

$$\text{Vektor-Additionen: } \frac{(n+1)n}{2} \quad \text{Skalare Multiplikationen: } (n+1)n$$

**Horner-Schema:** Ausgehend von der Polynomkurve  $\mathbf{F}(u) = \sum_{i=0}^n \mathbf{A}_i u^i \in \mathcal{P}^n$   
 $(\mathcal{P}^n: \text{Raum der Polynome vom Grad } \leq n)$

$$\mathbf{F}(u) = \sum_{i=0}^n \mathbf{A}_i u^i = \mathbf{A}_0 + u(\mathbf{A}_1 + u(\mathbf{A}_2 + u(\mathbf{A}_3 \dots + u(\mathbf{A}_{n-1} + u\mathbf{A}_n)))) \dots$$

○ weniger stabil

○ Komplexität:  $\mathcal{O}(n)$ , genauer:  $n$  skalare Multiplikationen,  $n$  Vektor-Additionen



## 3.1 Bézier-Kurven ...

### Vorwärts-Differenzen

**Ziel:** Auswertung von  $\mathbf{F}(u) = \sum_{i=0}^n \mathbf{A}_i u^i$  an äquidistanten Parametern

$$u_j = u_0 + j \cdot \Delta, \quad j = 0, \dots, k \text{ für ein } k \in \mathbb{N} \text{ und Schrittweite } \Delta > 0$$

**Erste Vorwärtendifferenz:** Betrachte Polynom  $\delta^1(u) := \mathbf{F}(u + \Delta) - \mathbf{F}(u)$ ; es gilt:

$$\begin{aligned} \delta^1(u) &= \mathbf{F}(u + \Delta) - \mathbf{F}(u) = \mathbf{A}_n ((u + \Delta)^n - u^n) + \mathbf{G}(u), \quad \mathbf{G} \in \mathcal{P}^{n-1} \\ &= \mathbf{A}_n \left( \left( \sum_{i=0}^n \binom{n}{i} u^i \Delta^{n-i} \right) - u^n \right) + \mathbf{G}(u) \quad \boxed{\Rightarrow \delta^1 \in \mathcal{P}^{n-1}} \end{aligned}$$

**i-te Vorwärtendifferenz:** Rekursive Differenzbildung

$$\delta^i(u) := \delta^{i-1}(u + \Delta) - \delta^{i-1}(u) \in \mathcal{P}^{n-i} \quad \text{insbesondere: } \delta^n(u) \in \mathcal{P}^0 \text{ konstant}$$

Damit ist  $\delta^{i-1}(u + \Delta) = \delta^i(u) + \delta^{i-1}(u)$ .



## 3.1 Bézier-Kurven ...

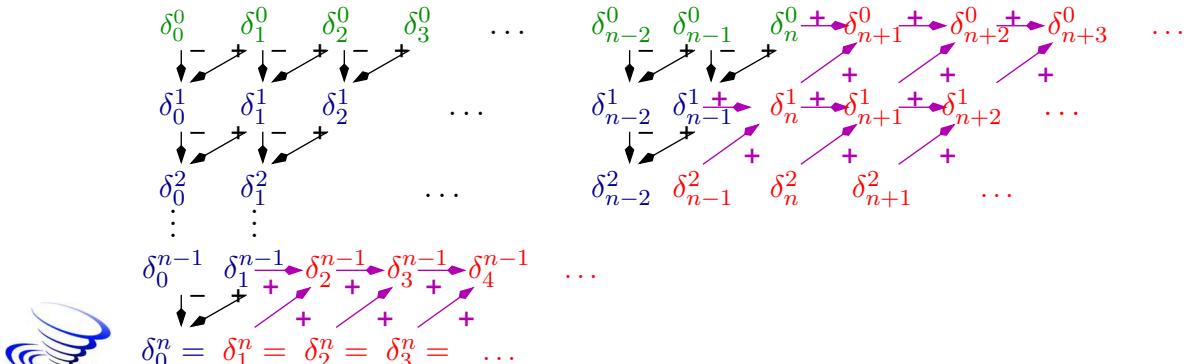
### Algorithmus: Vorwärts-Differenzen

**Initialisierung:** Berechne ausgehend von  $u_0$  und festem  $\Delta > 0$ :

1. Punkte auf der Kurve:  $\delta_j^0 := \mathbf{F}(u_j) = \mathbf{F}(u_0 + j\Delta)$ ,  $j = 0, \dots, n$
2. Differenzen  
 $\delta_j^i := \delta^i(u_j) = \delta^{i-1}(u_{j+1}) - \delta^{i-1}(u_j)$ ,  $i = 1, \dots, n$ ,  $j = 0, \dots, n-i$

**Iteration:** Sukzessive Berechnung der  $(m+1)$ -ten „Diagonale“ ( $m \geq n$ ):

$$\delta_{(m-n)+1}^n = \delta_{m-n}^n = \text{const}, \quad \delta_{(m-r)+1}^r = \delta_{m-r}^r + \delta_{m-r}^{r+1}, \quad r = 0, \dots, n-1$$



## 3.1 Bézier-Kurven ...

### Algorithmus: Vorwärts-Differenzen (Forts.)

**Komplexität**  $\mathcal{O}(n)$ ,  $n$  Vektor Add. pro Punkt nach der Initialisierung

### Beispiel: Beispiel Vorwärts-Differenzen

**Gegeben:**  $f(u) = u^3 - 4u^2 - 2u$ ,  $u_0 = 0$ ,  $\Delta = 1$

**Lösung:**

$u :$	0	1	2	3	4	5	6	7	8
$\delta_j^0 :$	0	-5	-12	-15	-8	15	60	133	240
$\delta_j^1 :$	-5	-7	-3	7	23	45	73	107	
$\delta_j^2 :$	-2	4	10	16	22	28	34		
$\delta_j^3 :$	6	6	6	6	6	6			

## 3.1 Bézier-Kurven ...

### Umwandlung Bézier nach Polynome

**Erinnerung:** Jedes Polynom  $\in \mathcal{P}^n$  lässt sich in der Bernstein-Bézier-Basis darstellen:

$$\text{span}\{1, u, u^2, \dots, u^n\} = \text{span}\{B_0^n(u), \dots, B_n^n(u)\}$$

**Basis-Transformation:** Die Umwandlung der Darstellung erfolgt über eine  $(n+1) \times (n+1)$ -Matrix.

**Beispiel**  $n = 3$ :  $\mathbf{C}(u) = \sum_{i=0}^3 \mathbf{C}_i B_i^3(u) = \sum_{i=0}^3 \mathbf{A}_i u^i$

$$\begin{pmatrix} \mathbf{A}_0 \\ \mathbf{A}_1 \\ \mathbf{A}_2 \\ \mathbf{A}_3 \end{pmatrix} = \begin{pmatrix} 1 & 0 & 0 & 0 \\ -3 & 3 & 0 & 0 \\ 3 & -6 & 3 & 0 \\ -1 & 3 & -3 & 1 \end{pmatrix} \begin{pmatrix} \mathbf{C}_0 \\ \mathbf{C}_1 \\ \mathbf{C}_2 \\ \mathbf{C}_3 \end{pmatrix} \text{ da } \begin{array}{lll} B_0^3(u) = (1-u)^3 = -u^3 + 3u^2 - 3u + 1 \\ B_1^3(u) = 3(1-u)^2 u = 3u^3 - 6u^2 + 3u \\ B_2^3(u) = 3(1-u)u^2 = -3u^3 + 3u^2 \\ B_3^3(u) = u^3 = u^3 \end{array}$$



## 3.1 Bézier-Kurven ...

### Rationale Bézier-Kurven

**Bislang:** Nur Polynomkurven darstellbar

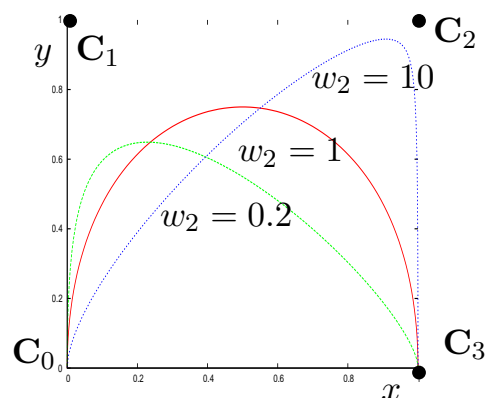
**Ziel:** Bessere Kurvenkontrolle durch Einführung von **Gewichten**  $w_i$  für  $B_i^n(u)$

**Wichtig:** Affine Invarianz muss erhalten bleiben, also muss normiert werden

$$\mathbf{C}(u) = \frac{\sum_{i=0}^n \mathbf{C}_i \cdot w_i B_i^n(u)}{\sum_{i=0}^n w_i B_i^n(u)} = \sum_{i=0}^n \mathbf{C}_i \tilde{B}_i^n(u) \text{ mit } \tilde{B}_i^n(u) = \frac{w_i B_i^n(u)}{\sum_{i=0}^n w_i B_i^n(u)}$$

ist  $\sum \tilde{B}_i^n(u) = 1$

**Beispiel:** Veränderung des Gewichtes bei  $\mathbf{C}_2$

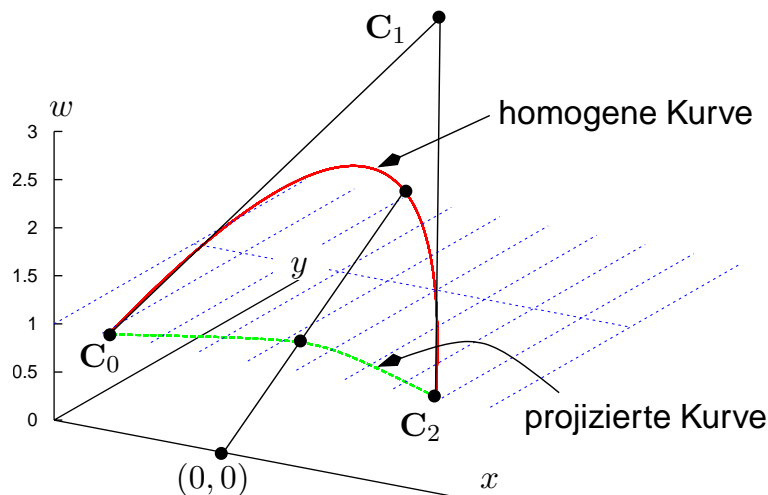


## 3.1 Bézier-Kurven ...

### Rationale Bézier-Kurven als homogene Kurven

**Alternativer Ansatz:** Zeichne Kurve in Homogenen Koordinaten und projiziere Kurve auf  $w = 1$ :

$$\mathbf{C}_i = \begin{bmatrix} w_i x_i \\ w_i y_i \\ w_i z_i \\ w_i \end{bmatrix} \quad \mathbf{C}(u) = \frac{\sum_{i=0}^n w_i \binom{x_i}{y_i}{z_i} B_i^n(u)}{\sum_{i=0}^n w_i B_i^n(u)}$$



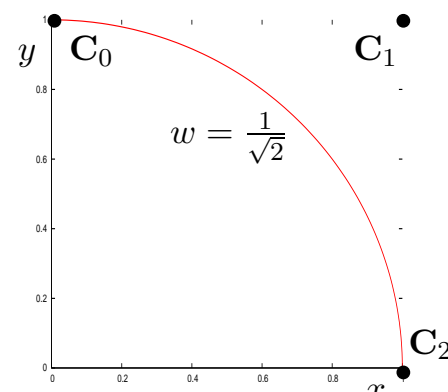
## 3.1 Bézier-Kurven ...

### Einfluss der Gewichte

**Allgemein:** Je größer  $w_i$  (bei konstanten  $w_j$ ,  $j \neq i$ ), desto näher verläuft  $\mathbf{C}(u)$  bei  $\mathbf{C}_i$

**Spezialfall Kegelschnitte** für  $n = 2$  und  $w_0 = w_2 = 1$  ergibt sich durch Variation von  $w_1$ :

$$\text{C ist Segment einer } \left\{ \begin{array}{l} \text{Ellipse} \\ \text{Parabel} \\ \text{Hyperbel} \end{array} \right\} \Leftrightarrow \left\{ \begin{array}{l} w_1 < 1 \\ w_1 = 1 \\ w_1 > 1 \end{array} \right.$$



**Spezialfall Kreissegment** für  $n = 2$ :

$$w_0 = w_2 = 1 \text{ und } w_1 = 1/\sqrt{2}$$

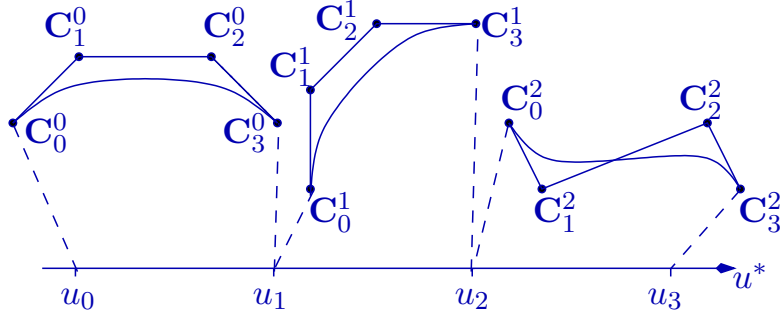


## 3.1 Bézier-Kurven ...



### Allgemeines Parameter-Intervall

**Beliebige Parameter-Intervalle**  $[a, b]$  statt  $[0, 1]$ ; Bsp. stückweise Kurven



**Umparametrisierung:** Lineare Transformation  $\phi : I = [a, b] \rightarrow [0, 1]$  ändert Polynomgrad nicht:

$$\phi(u) := \frac{u - a}{b - a} \in [0, 1], \forall u \in I \text{ und}$$

$$B_i^{I,n}(u) := B_i^n(\phi(u)) = \binom{n}{i} \left( \frac{u - a}{b - a} \right)^i \left( \frac{b - u}{b - a} \right)^{n-i}$$

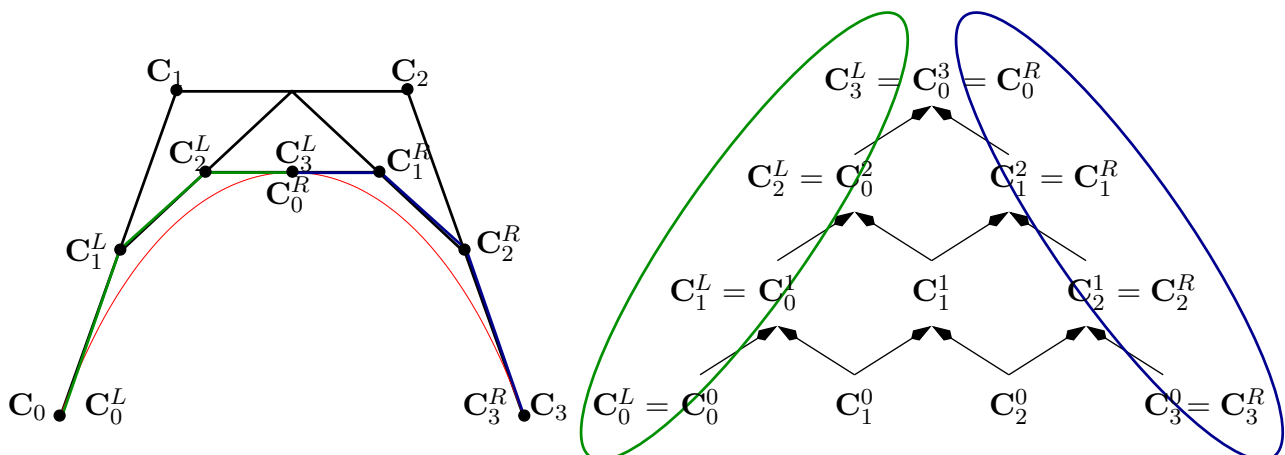


## 3.1 Bézier-Kurven ...



### Unterteilung der Bézier-Kurve $C(u)$

**Auswertung** von  $C$  bei  $a \in [0, 1]$  liefert Bézier-Darstellung der Teilkurven auf  $[0, a]$  bzw.  $[a, 1]$ :



**Beachte:** Neue Bézier-Kurven beschreiben nur einen Teil der ursprünglichen Geometrie



## 3.1 Bézier-Kurven ...

### Schnitt zwischen Bézier-Kurven

**Konvexe-Hülle** der Kontrollpunkte disjunkt  $\Rightarrow$  kein Schnitt der Bézier-Kurven  
 $\Rightarrow$  **Idee:** Rekursive Unterteilung der Bézier-Kurven liefert Schnittpunkte

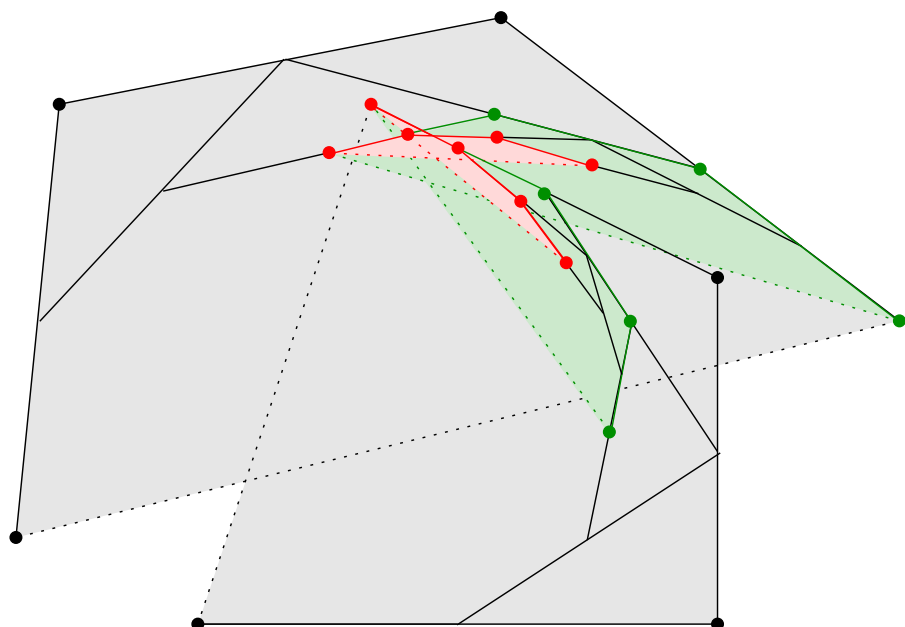
**Algorithmus:** Zum Schnitt von Bézier-Kurven vom Grad  $n$

```
void intersectCurve(Point cpA[], cpB[], vector intersectPts) {
    Point cpALeft[n+1], cpARight[n+1], cpBLeft[n+1], cpBRight[n+1];
    if ( ! intersectConvexHull(cpA, cpB) ) return;
    if ( sizeOfBBox(cpA) > epsilon ) {           // subdivide curve A
        subdivideCurve(cpA, cpALeft, cpARight);
        intersectCurve(cpALeft, cpB, intersectPts);
        intersectCurve(cpARight, cpB, intersectPts);
    }
    else if ( sizeOfBBox(cpB) > epsilon ) { // subdivide curve B
        subdivideCurve(cpB, cpBLeft, cpBRight);
        intersectCurve(cpA, cpBLeft, intersectPts);
        intersectCurve(cpA, cpBRight, intersectPts);
    }
    else { // both boxes smaller than epsilon
        intersectPts.append(computeCenter(cpA));
    }
    return;
}
```



## 3.1 Bézier-Kurven ...

### Beispiel: Schnitt zwischen Bézier-Kurven



## 3.1 Bézier-Kurven ...

### Bewertung Bézier-Kurven

#### Wesentliche Vorteile:

- Intuitive Kontrolle des Kurvenverlaufes
- stabile Berechnung (de Casteljau); alternativ schnelle, äquidistante Auswertung (Vorw.-Diff.)
- affine Invarianz und konvexe Hülle
- Darstellung aller Polynome und Kegelschnitte

#### Wesentliche Nachteile:

- Globaler Einfluss der Kontrollpunkte
- Nur Polynomkurven bzw. Kegelschnitte (rationale Bézier-Kurven)
- 

Anzahl Freiheitsgrade = Anzahl Kontrollpkte = Polynomgrad + 1  
 $\Rightarrow$  mehr Freiheitsgrade nur durch höheren Polynomgrad und mehr Rechenaufwand!



## 3.2 Bézier-Splines

### Bezeichnung: Bézier-Splinekurve

**Bézier-Splinekurve:** Mehr Freiheitsgrade durch *Aneinanderfügen von Bézier-Kurven*

**Konkret:**  $k + 1$  Bézier-Segmente  $\mathbf{C}^j(u)$ ,  $j = 0, \dots, k$  vom Grad  $n$

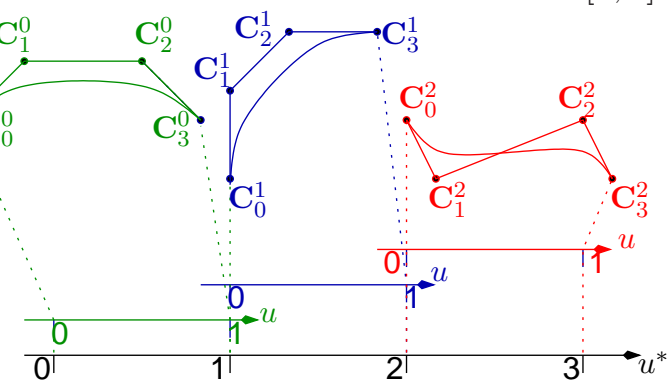
**Lokaler Parameter:** Segment  $\mathbf{C}^j$  hat als Bézier-Kurve den Param.  $u \in [0, 1]$

**Globaler Parameter:**

Parameter  $u^* \in [0, k + 1]$   
 der gesamten Splinekurve  $\mathbf{C}$  mit

$$u^* \in [j, j + 1[ \\ \Rightarrow \mathbf{C}(u^*) = \mathbf{C}^j(u)$$

mit  $u = u^* - j$



**Frage:** Welche Bedingungen müssen gelten, damit  $\mathbf{C}$  eine stetige und/oder glatte Kurve ist?



### Exkursion: Stetigkeitsbedingungen

**Formal:** Eine Funktion  $f(u)$  ist in  $u_0 C^k$ -stetig, wenn sie

1. in  $u_0$   $k$ -mal differenzierbar ist und
2. die  $k$ -te Ableitung in  $u_0$  stetig ist

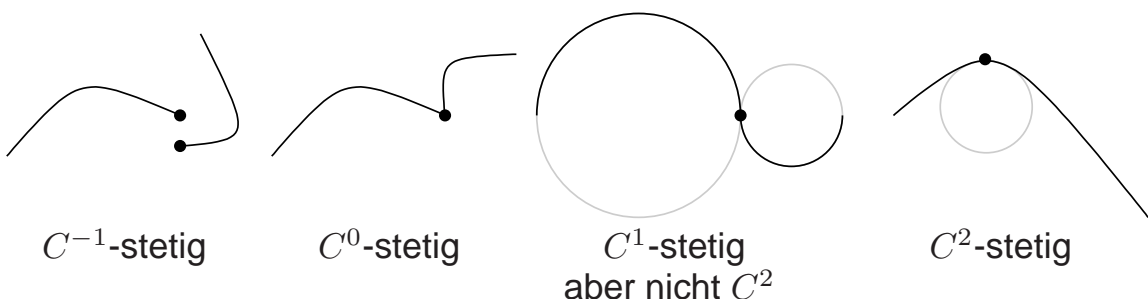
**Konkret:**

- $C^{-1}$ : Die Kurve ist unstetig (Sprung)

- $C^0$ : Die Kurve stetig aber nicht diff.-bar („Knick“)

- $C^1$ : Die Kurve einmal diff.-bar mit stetiger Tangente

- $C^2$ : Die Kurve zweimal diff.-bar mit 2. Ableitung (krümmungsstetig)



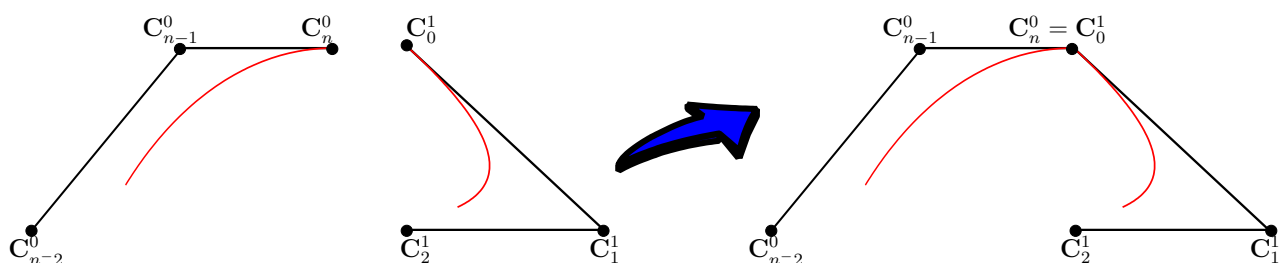
## 3.2 Bézier-Splines ...

### Anschlussbedingungen ( $C^0$ )

**Gegeben:** Kurve  $C^0$  mit Kontrollpunkten  $C_0^0, \dots, C_n^0$

**Gesucht:** Kontrollpunkte  $C_i^1$  von  $C^1$ , so dass  $C^1$  stetig/glatt an  $C^0(1)$  anschließt.

**$C^0$ -stetig:** Es muss  $C^0(1) = C^1(0)$  gelten, also  $C_n^0 = C_0^1$   
(Endpunktinterpolation)



## 3.2 Bézier-Splines ...



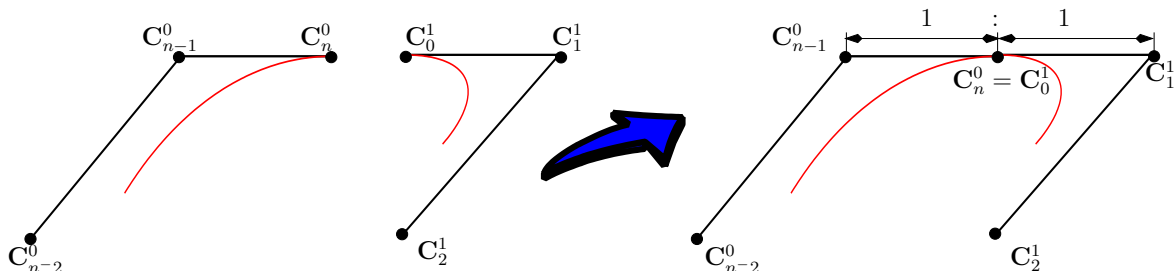
### Anschlussbedingungen ( $C^1$ )

**Voraussetzung:**  $C^0$ -Stetigkeit, also  $\mathbf{C}_n^0 = \mathbf{C}_0^1$

**Zudem muss gelten:**  $(\mathbf{C}^0)'(1) = (\mathbf{C}^1)'(0)$  (Interpolation der Endtangentialen)

$$(\mathbf{C}^0)'(1) = n(\mathbf{C}_n^0 - \mathbf{C}_{n-1}^0) \stackrel{!}{=} n(\mathbf{C}_1^1 - \mathbf{C}_0^1) = (\mathbf{C}^1)'(0)$$

$$\stackrel{C^0-\text{stetig}}{\Leftrightarrow} \mathbf{C}_1^1 = \mathbf{C}_0^1 + (\underbrace{\mathbf{C}_n^0 - \mathbf{C}_{n-1}^0}_{= \mathbf{C}_0^1})$$



## 3.2 Bézier-Splines ...



### Anschlussbedingungen ( $C^2$ )

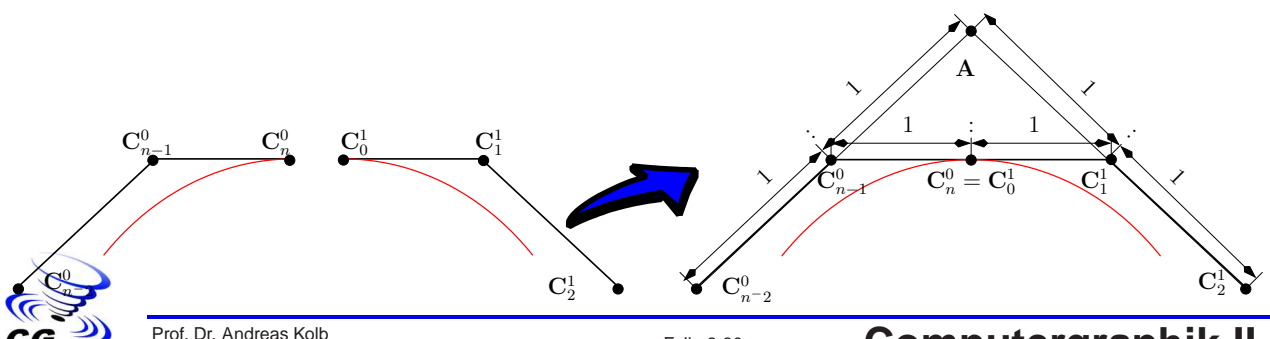
**Voraussetzung:**  $C^1$ -Stetigkeit, also  $\mathbf{C}_n^0 = \mathbf{C}_0^1$  und  $\mathbf{C}_n^0 = \mathbf{C}_0^1 = \frac{1}{2}(\mathbf{C}_{n-1}^0 + \mathbf{C}_1^1)$

**Zudem muss gelten:**  $(\mathbf{C}^0)''(1) = (\mathbf{C}^1)''(0)$ , konkret

$$\text{Allgemein: } \mathbf{C}''(u) = n(n-1) \sum_{i=0}^{n-2} (\mathbf{C}_{i+2} - 2\mathbf{C}_{i+1} + \mathbf{C}_i) B_i^{n-2}(u)$$

$$\text{Damit: } (\mathbf{C}^0)''(1) = (\mathbf{C}^1)''(0) \Leftrightarrow \mathbf{C}_n^0 - 2\mathbf{C}_{n-1}^0 + \mathbf{C}_{n-2}^0 = \mathbf{C}_2^1 - 2\mathbf{C}_1^1 + \mathbf{C}_0^1$$

$$\stackrel{C^1-\text{stetig}}{\Leftrightarrow} \mathbf{C}_2^1 = \mathbf{C}_1^1 + (\mathbf{C}_1^1 - \underbrace{(\mathbf{C}_{n-1}^0 + (\mathbf{C}_{n-1}^0 - \mathbf{C}_{n-2}^0))}_{= \mathbf{A}}), \text{ da } \mathbf{C}_n^0 = \mathbf{C}_0^1$$



### 3.2.1 Catmull-Rom-Ansatz



**Ansatz:** Verwendung von *kubische  $C^1$ -stetigen Bézier-Splines* (vgl. Hermite!)

**Kontrollgrößen:** Interpoliert werden

1. Kontrollpunkten  $\mathbf{C}_0^j, j = 0, \dots, k$  und  $\mathbf{C}_3^k$
2. Tangenten  $\vec{\mathbf{t}}_j = (\mathbf{C}^j)'(0), j = 0, \dots, k$  und  $\vec{\mathbf{t}}_{k+1} = (\mathbf{C}^k)'(1)$

**Angabe** von zwei Kontrolltypen (Punkte, Tangenten) ist unhandlich.

#### Catmull-Rom-Splines

**Ansatz:** Vorgabe der Kontrollpunkte & Schätzung der Tangenten

**Gegeben:** Interpolationspunkte  $\mathbf{P}_i, i = 0, \dots, k + 1$

**Berechnung der Bézier-Punkte:** Für das  $j$ -te Bézier-Segment ergibt sich

Endpunkte:  $\mathbf{C}_0^j = \mathbf{P}_j, \mathbf{C}_3^j = \mathbf{P}_{j+1}, j = 0, \dots, k$

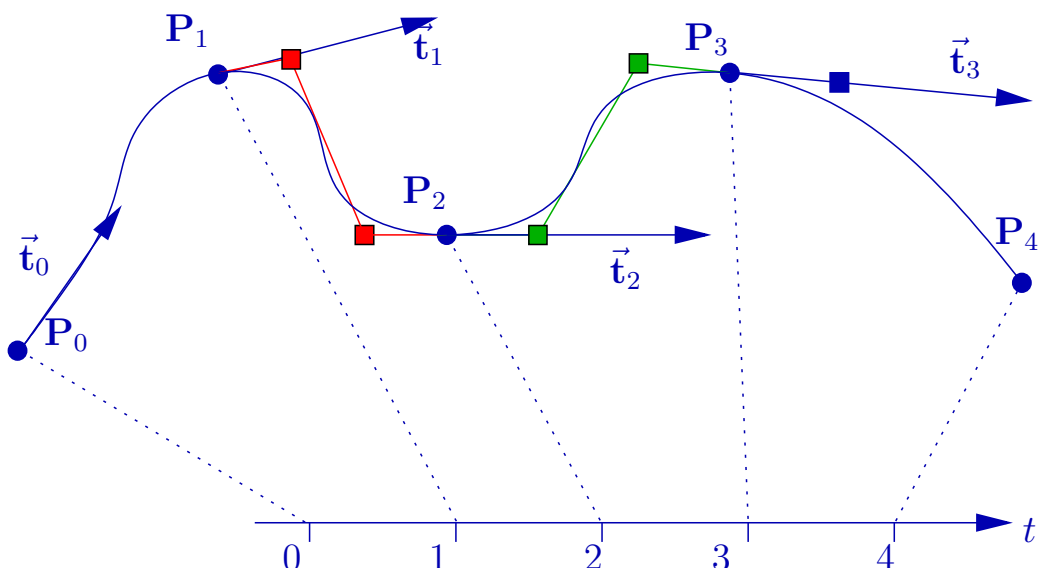
Tangente bei  $\mathbf{P}_j : \vec{\mathbf{t}}_j = \frac{1}{2}(\mathbf{P}_{j+1} - \mathbf{P}_{j-1}), j = 1, \dots, k - 1$

Tangenten am Rand:  $\mathbf{P}_{-1}$  und  $\mathbf{P}_{k+2}$  zusätzlich vorgeben, z.B.  $\mathbf{P}_{-1} = \mathbf{P}_0$

Innere Kontrollpunkte:  $\mathbf{C}_1^j - \mathbf{C}_0^j = \frac{1}{3}\vec{\mathbf{t}}_j \Rightarrow \mathbf{C}_1^j = \mathbf{C}_0^j + \frac{1}{3}\vec{\mathbf{t}}_j$ , analog  $\mathbf{C}_2^j = \mathbf{C}_3^j - \frac{1}{3}\vec{\mathbf{t}}_{j+1}$



### 3.2.1 Catmull-Rom-Ansatz ...



Tangente bei $\mathbf{P}_j :$ Interpolation der Endpunkte: Tangentialstetigkeit:	$\vec{\mathbf{t}}_j = \frac{1}{2}(\mathbf{P}_{j+1} - \mathbf{P}_{j-1})$ $\mathbf{C}_0^j = \mathbf{P}_j, \mathbf{C}_3^j = \mathbf{P}_{j+1}$ $(\mathbf{C}_1^j - \mathbf{C}_0^j) = (\mathbf{C}_3^j - \mathbf{C}_2^j) = \frac{1}{3}\vec{\mathbf{t}}_j$
--	--



### 3.2.1 Catmull-Rom-Ansatz ...



#### Bewertung Bézier-Splines

##### Wesentliche Vorteile:

- Alle Vorteile der Bézier-Kurven
- Zusätzliche Freiheitsgrade bei konstantem Grad

##### Wesentliche Nachteile:

- Erfüllung expliziter Übergangsbedingungen **oder**
- verschiedenartige Kontrollparameter (Catmull-Rom)

##### Wünschenswert:

- „Eingebaute“ Übergangsbedingung
- maximale Stetigkeit bei minimalem Einfluss der Kontrollpunkte



### 3.2.2 Hermite-Kurven



**Bézier-Kurven** interpolieren  $C_0, C_n$  und approximieren  $C_i, i \notin \{0, n\}$

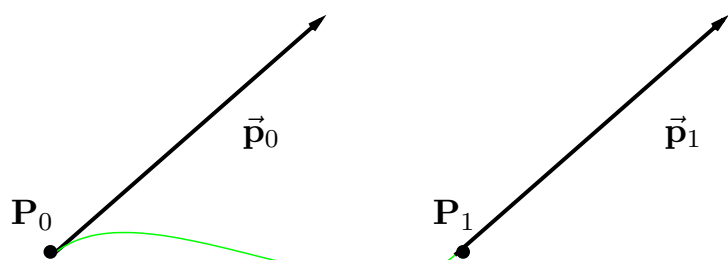
**Hermite-Kurven** interpolieren Position und Ableitungen in den Endpunkten

**Zahl der Kontrollparameter** legt den Grad der Kurve fest:

- Position und 1. Ableitung → 4 Parameter → kubische Polynome
- Position, 1. und 2. Ableitung → 6 Parameter → quintische Polynome etc.

**Kubische Hermite-Kurve**  $H(u)$  interpolieren  $P_0, P_1, \vec{p}_0, \vec{p}_1$ :

$$H(0) = P_0, \quad H(1) = P_1, \quad H'(0) = \vec{p}_0, \quad H'(1) = \vec{p}_1$$



## 3.2.2 Hermite-Kurven ...



### Kubische Hermite-Basisfunktionen

**Kubische Hermite-Kurven** definiert sich zu

$$\mathbf{H}(u) = \mathbf{P}_0 h_0(u) + \vec{\mathbf{p}}_0 h_1(u) + \vec{\mathbf{p}}_1 h_2(u) + \mathbf{P}_1 h_3(u)$$

### **Kubische Hermite-Basisfunktionen:**

$$h_0(u) = 2u^3 - 3u^2 + 1$$

mit  $h_0(0) = 1, h_0(1) = 0, h'_0(0) = 0, h'_0(1) = 0$

$$h_1(u) = u^3 - 2u^2 + u$$

mit  $h_1(0) = 0, h_1(1) = 0, h'_1(0) = 1, h'_1(1) = 0$

$$h_2(u) = u^3 - u^2$$

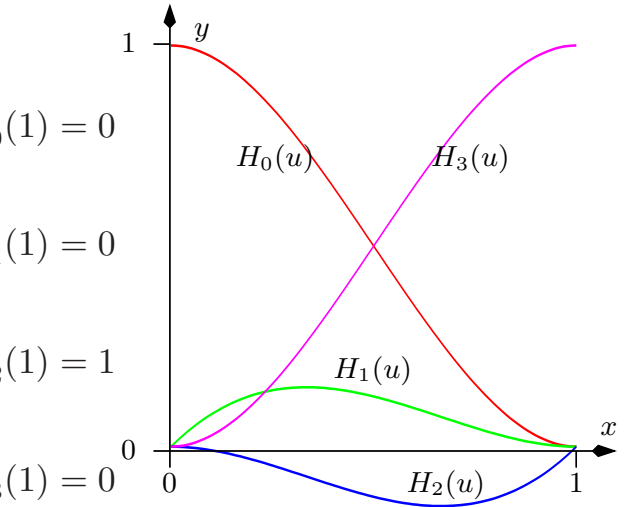
mit  $h_2(0) = 0, h_2(1) = 0, h'_2(0) = 0, h'_2(1) = 1$

$$h_3(u) = -2u^3 + 3u^2$$

mit  $h_3(0) = 0, h_3(1) = 1, h'_3(0) = 0, h'_3(1) = 0$

$$\text{Prof. Dr. Andreas Kolb}$$

Computer Graphics & Multimedia Systems



-Folie 3-35-

**Computergraphik II**

## 3.3 B-Spline-Kurven



### Ansatz: Quadratische B-Spline Kurven

**Idee:** Nutze innere Kontrollpunkte  $C^1$ -stetiger quadratischer Bézier-Splines als Kontrollpunkte

**Gegeben:** „Innere Kontrollpunkte“  $\mathbf{D}_1, \dots, \mathbf{D}_k$

**Konstruktion:** Sequenz

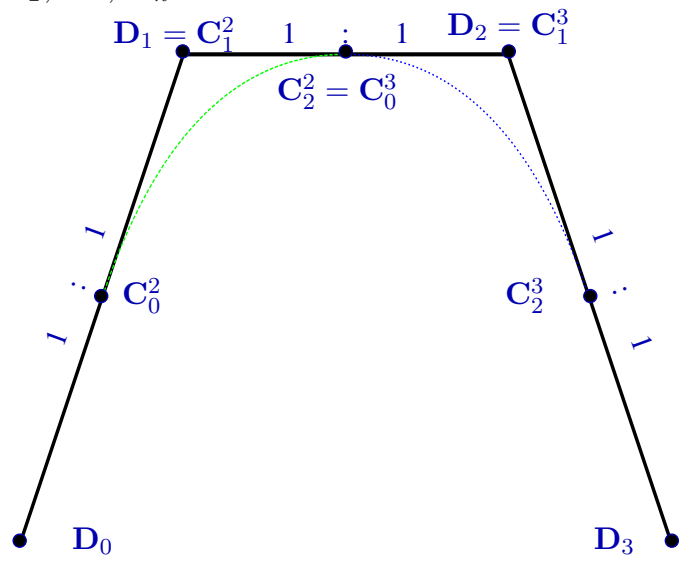
$\mathbf{D}_{j-2}, \dots, \mathbf{D}_j$  definiert die quadratische Bézier-Kurve  $\mathbf{C}^j$ :

$$\mathbf{C}_0^j = \frac{1}{2}\mathbf{D}_{j-2} + \frac{1}{2}\mathbf{D}_{j-1},$$

$$\mathbf{C}_1^j = \mathbf{D}_{j-1}$$

$$\mathbf{C}_2^j = \frac{1}{2}\mathbf{D}_{j-1} + \frac{1}{2}\mathbf{D}_j$$

**Beachte:** Automatisch  $C^1$ -stetig



Prof. Dr. Andreas Kolb  
Computer Graphics & Multimedia Systems

-Folie 3-36-

**Computergraphik II**

### 3.3 B-Spline-Kurven ...



#### Ansatz: Kubische B-Spline Kurven

**Idee:** Nutze A-Frame-Punkte  $C^2$ -stetiger kubischer Bézier-Splines als Kontrollpunkte

**Gegeben:** A-Frame Punkte  $D_1, \dots, D_k$

**Konstruktion:** Sequenz

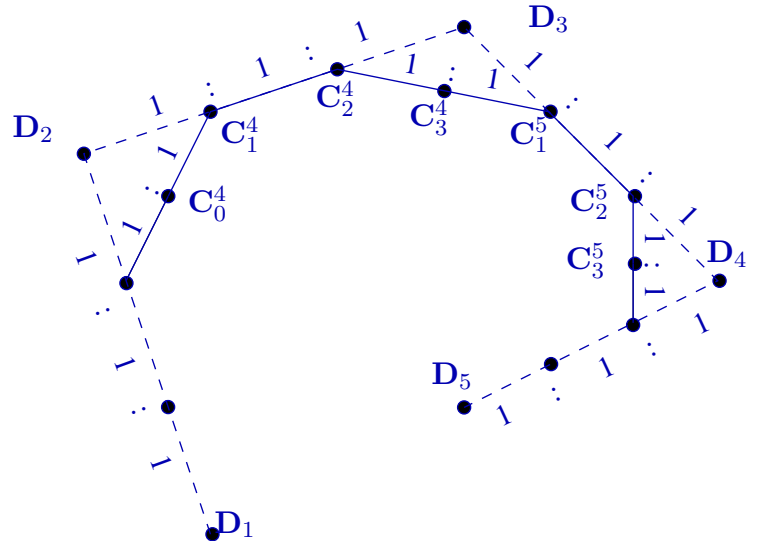
$D_{j-3}, \dots, D_j$  definiert  
kubische Bézier-Kurve  
 $C^j$ :

$$C_1^j = \frac{2}{3}D_{j-2} + \frac{1}{3}D_{j-1}$$

$$C_2^j = \frac{1}{3}D_{j-2} + \frac{2}{3}D_{j-1}$$

$$C_0^j = \frac{1}{2}C_2^{j-1} + \frac{1}{2}C_1^j$$

$$C_3^j = \frac{1}{2}C_2^j + \frac{1}{2}C_1^{j+1}$$



### 3.3 B-Spline-Kurven ...



#### Bemerkung: Quadratische und kubische B-Splines

**Obige Einführung** ist sehr speziell, denn wir brauchen

- B-Splines für beliebigen Grad  $n$  & beliebige Parameterintervalle
- Auswertung ohne Umweg über die Bézier-Darstellung

**Basisfunktionen:** Angenommen, obige B-Spline-Kurven haben die Darstellung

$$\mathbf{D}(u) = \sum_i \mathbf{D}_i N_i^n(u) \text{ für unbekannte Basisfunktionen } N_i^n, \quad n = 2, 3$$

Für ein  $i_0$  gewinnt man  $N_{i_0}^n$  durch:  $\mathbf{D}_i = 0, i \neq i_0$  und  $\mathbf{D}_{i_0} = 1$ .

**Beispiel:** Bestimmung von  $N_2^2(u)$  als stückw.

quadratisches Polynom (lok. Param. für  $C^j$  :

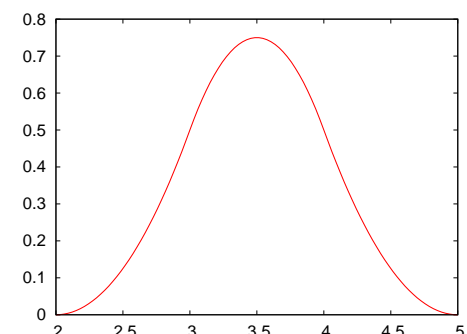
$$u = u^* - j$$

$$u^* \in [2, 3[ : N_2^2(u^*) = \mathbf{C}^2(u) = \frac{1}{2}B_2^2(u)$$

$$u^* \in [3, 4[ : N_2^2(u^*) = \mathbf{C}^3(u)$$

$$= \frac{1}{2} (B_0^2(u) + B_2^2(u)) + B_1^2(u)$$

$$u^* \in [4, 5[ : N_2^2(u^*) = \mathbf{C}^4(u) = \frac{1}{2}B_0^2(u)$$



### 3.3 B-Spline-Kurven ...



**Ziel:** Basisfunktion als stückweises Polynom  $N_i^n(u)$  mit gegebenem Grad  $n \in \mathbb{N}$ , so dass

1. max. Stetigkeit zwischen den Teilkurven, also **( $n - 1$ )-stetig**
2. möglichst geringer Einflussbereich der Kontrollpunkte (**Lokalität**)
3. Erlegung der Eins:  $\sum N_i^n(u) \equiv 1$ ,  $N_i^n(u) \geq 0$  (**affine Invarianz, konvexe Hülle**)

**Knotenvektor:**  $T = \{\dots, t_{i-1}, t_i, t_{i+1}, \dots\}$ ,  $t_i \leq t_{i+1}$ ,  $t_i \in \mathbb{R}$  mit:

$$N_i^n|_{[t_i, t_{i+1}]} \in \mathcal{P}^n$$

**Fall n=0:** Offensichtlich sinnvolle Festlegung  $N_i^0 = \chi([t_i, t_{i+1}])$ , wobei

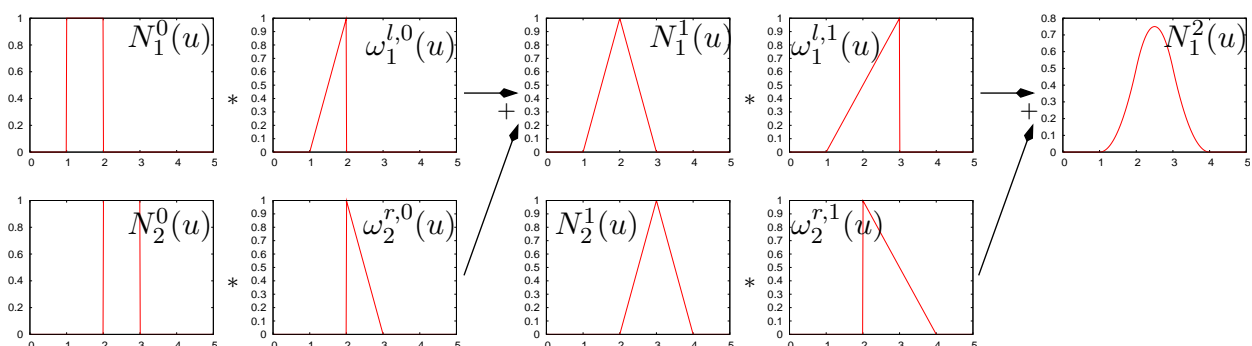
$$\chi(M)(u) = \begin{cases} 1 & u \in M \\ 0 & \text{sonst} \end{cases} \quad \text{charakteristische Funktion}$$



### 3.3 B-Spline-Kurven ...

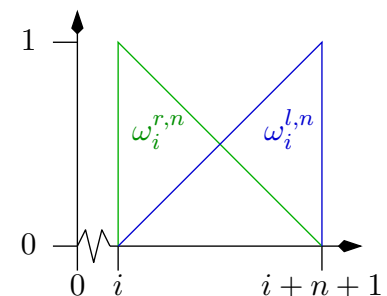


**Rekursion:**  $N_i^{n+1}(u)$  ergibt sich aus gewichteter Summe von  $N_i^n(u)$  und  $N_{i+1}^n(u)$  mit linearen  $\omega_i^{l,n}, \omega_i^{r,n}$



**Bemerkung:**

- $\omega_i^{l,n}, \omega_i^{r,n}$  steigt/fällt auf  $\text{supp}(N_i^n)$  von 0 nach 1 an bzw. von 1 nach 0 ab
- Es gilt  $\sum N_i^n \equiv 1$  (Zerlegung der Eins, s.u.) und  $N_i^n(u) \geq 0$



### 3.3 B-Spline-Kurven ...

#### Definition: Normalisierte B-Spline-Basisfunktionen

**Gegeben:** Knotenvektor  $T = \{ \dots, t_{i-1}, t_i, t_{i+1}, \dots \}$ ,  $t_i \leq t_{i+1}$ ,  $t_i \in \mathbb{R}$

Der Knotenvektor  $T$  heißt **uniform**, falls  $t_i = i$

**Fall**  $n = 0$ : Setze  $N_i^0 := \chi([t_i, t_{i+1}[)$

**Rekursion**  $n \rightarrow n + 1$ :  $N_i^{n+1}(u) := \omega_i^{l,n}(u) \cdot N_i^n(u) + \omega_{i+1}^{r,n} \cdot N_{i+1}^n(u)$  mit

$$\omega_i^{l,n}(u) = \frac{u - t_i}{t_{i+n+1} - t_i}, \quad \omega_i^{r,n}(u) = \frac{t_{i+n+1} - u}{t_{i+n+1} - t_i}$$

#### Bemerkung: Zerlegung der 1

$N_i^n$  bilden Zerlegung der Eins **im Inneren des Knotenvektors**, da  $N_i^n(u) \geq 0$  und per Induktion:  $\sum N_i^0 \equiv 1$  und

$$\begin{aligned} \sum_i N_i^{n+1}(u) &= \sum_i \left( \omega_i^{l,n}(u) N_i^n(u) + \omega_{i+1}^{r,n} N_{i+1}^n(u) \right) \\ &= \sum_i \underbrace{\left( \omega_i^{l,n}(u) + \omega_{i+1}^{r,n}(u) \right)}_{=1} N_i^n(u) = 1 \end{aligned}$$



### 3.3 B-Spline-Kurven ...

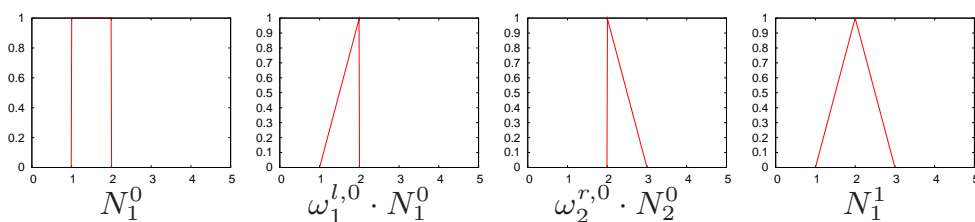
#### Beispiel: Normalisierte B-Spline-Basisfunktionen

**Gegeben:** Uniformer Knotenvektor

$$n = 0: N_i^0 = \chi[i, i+1[ = \begin{cases} 1 & \text{falls } u \in [i, i+1[ \\ 0 & \text{falls } u \notin [i, i+1[ \end{cases}$$

$$n = 1: \omega_i^{l,0}(u) = u - i, \quad \omega_i^{r,0}(u) = i + 1 - u \quad \text{und} \quad N_i^1 = \omega_i^{l,0} \cdot N_i^0 + \omega_{i+1}^{r,0} \cdot N_{i+1}^0$$

$$\begin{aligned} N_i^1(u) &= (u - i) \cdot \chi[i, i+1[ + (i + 2 - u) \cdot \chi[i+1, i+2[ \\ &= \begin{cases} u - i & \text{falls } u \in [i, i+1[ \\ i + 2 - u & \text{falls } u \in [i+1, i+2[ \\ 0 & \text{sonst} \end{cases} \end{aligned}$$

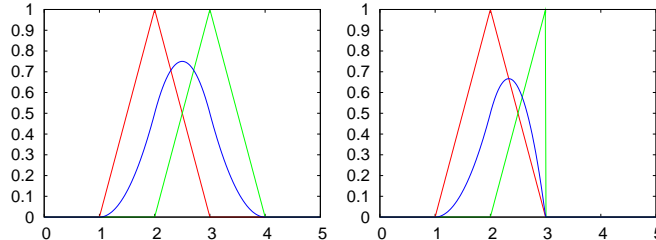


### 3.3 B-Spline-Kurven ...



#### Einfluss der Knoten $t_i$

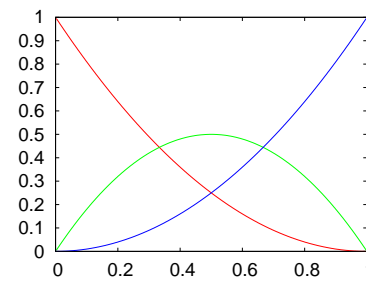
1.  $k$ -facher Knoten  $t_{i-1} < t_i = t_{i+1} = \dots = t_{i+k-1} < t_{i+k}$  reduziert Stetigkeit um  $k$ ; Beispiel  $N_1^1, N_2^1, N_3^2$  uniform (links) und  $T = \{1, 2, 3, 3, 4\}$  (rechts)



2.  $T = \{ \underbrace{0, \dots, 0}_{(n+1)\text{-fach}}, \underbrace{1, \dots, 1}_{(n+1)\text{-fach}} \}$  liefert:

$$N_i^n = B_i^n, \forall i = 0, \dots, n$$

3.  $N_0^n, \dots, N_m^n, m > n$  bilden auf  $[t_n, t_{m+1}]$  eine Basis der stückweisen Polynome vom Grad  $n$  mit der durch  $T$  gegebenen Stetigkeit



$$N_0^2, N_1^2, N_2^2 \text{ für } T = \{0, 0, 0, 1, 1, 1\}$$



### 3.3 B-Spline-Kurven ...



#### B-Spline-Kurven

Eine *B-Spline-Kurve* ist eine Affin-Kombination von den Boor-Punkten  $\mathbf{D}_i$  mit Gewichten  $N_i^n$  zu gegebenem Knotenvektor  $T = \{t_0, \dots, t_{n+m+1}\}$

$$\mathbf{D}(u) := \sum_{i=0}^m \mathbf{D}_i N_i^n(u), \quad u \in [t_n, t_{m+1}]$$

#### Eigenschaften von B-Spline Kurven

**Polynomiell:**  $\mathbf{D}$  ist eine stückweise Polynomkurve vom Grad  $n$  mit  $C^{n-1}$ -Übergängen bei disjunkten Knoten bzw.  $C^{n-k}$  bei  $k$ -fachem Knoten

**Lokalität:**  $\mathbf{D}_i$  beeinflusst Kurve nur lokal, da

$$\text{supp}(N_i^n) = \{u : N_i^n(u) \neq 0\} = ]t_i, t_{i+n+1}[ \quad (\text{lokaler Träger})$$

**Affine Invarianz und konvexe Hülle** da  $\sum_{i=0}^m N_i^n = 1$  und  $N_i^n \geq 0$  auf  $[t_n, t_{m+1}]$

**Lokale konvexe Hülle:**  $\mathbf{D}|_{[t_i, t_{i+1}[}$  verläuft in Hülle der  $\mathbf{D}_{i-n}, \dots, \mathbf{D}_i$



### 3.3 B-Spline-Kurven ...



#### Algorithmus: de Boor

**Gegeben:** de Boor Punkte  $D_0, \dots, D_m$  und der Parameter  $u \in [t_n, t_{m+1}]$   
(beliebig, aber fest)

**Gesucht:** Kurvenpunkt  $D(u)$  direkt aus den  $D_i$  ohne Berechnung der  $N_i^n$ :

**Relevante de Boor-Punkte:** Für  $u \in [t_r, t_{r+1}[$  sind alle  $D_i$  mit  $N_i^n(u) \neq 0$  notwendig:

$$D_i^0 = D_i, \quad i = r - n, \dots, r$$

**Rekursion:** Affin-Kombinationen benachbarter Kontrollpunkte:

$$D_i^j = (1 - \alpha_i^j(u))D_{i-1}^{j-1} + \alpha_i^j(u)D_i^{j-1}, \quad i = r - n + j, \dots, r, \quad j = 1, \dots, n$$

mit Gewichten:

$$\alpha_i^j(u) = \frac{u - t_i}{t_{i+n+1-j} - t_i}, \quad i = r - n + j, \dots, r, \quad j = 1, \dots, n$$

**Ergebnis:**  $D(u) = D_r^n$



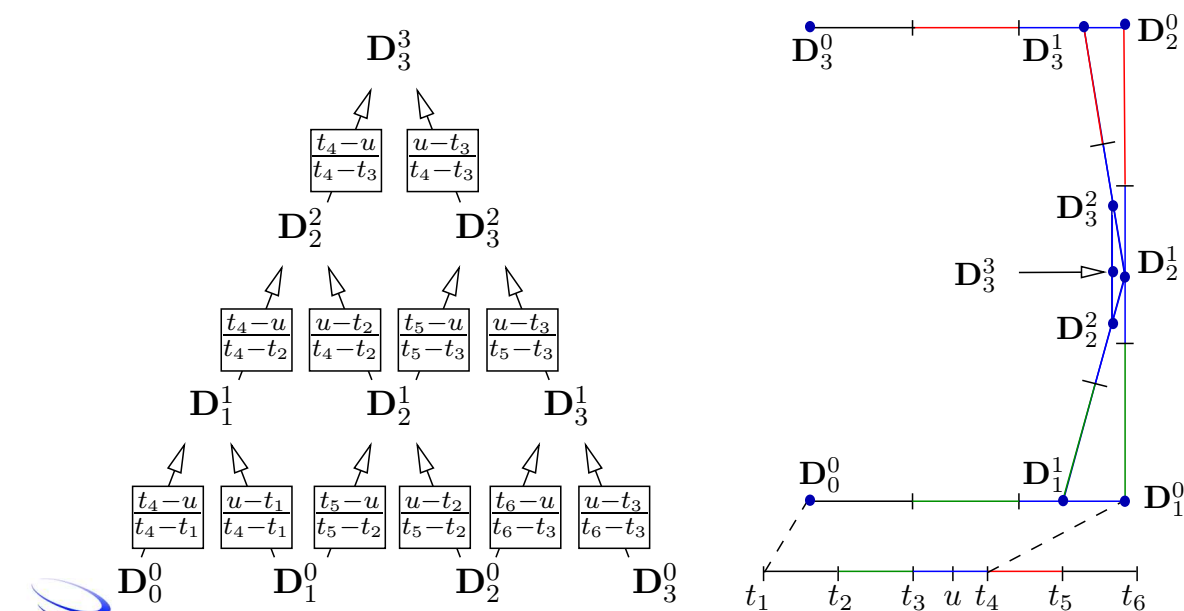
### 3.3 B-Spline-Kurven ...



#### de Boor: Geometrische Interpretation

**Gegeben:** de Boor-Punkte  $D_0, \dots, D_m$  und  $u \in [t_r, t_{r+1}[$

**Geometrische Lösung:** Hier mit  $n = 3$  und  $r = 3$



### 3.3 B-Spline-Kurven ...



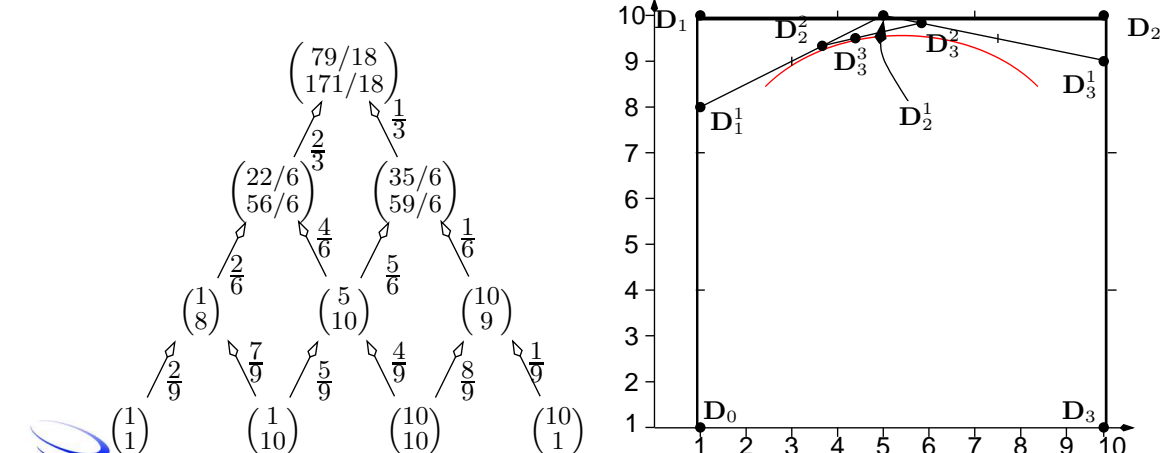
#### Beispiel: de Boor Algorithmus (uniformer, kubischer Fall)

**Gegeben:**

$$\mathbf{D}_0 = (1, 1), \mathbf{D}_1 = (1, 10), \mathbf{D}_2 = (10, 10), \mathbf{D}_3 = (10, 1), u = 10/3, r = 3$$

**Gewichte:** Ermittlung der Gewichte  $\alpha_i^j = \alpha_i^j(10/3) = \frac{u-i}{4-j}$ :

$$\alpha_1^1 = 7/9, \quad \alpha_2^1 = 4/9, \quad \alpha_3^1 = 1/9, \quad \alpha_2^2 = 4/6, \quad \alpha_3^2 = 1/6, \quad \alpha_3^3 = 1/3$$



### 3.3 B-Spline-Kurven ...



#### Ableitung von B-Spline-Kurven

**Ableitung** eines (stückw.) Polynoms reduziert den Grad von  $n$  auf  $n - 1$

**Ableitung des B-Splines** mit Knotenvektor  $T = \{t_0 \leq t_1 \leq \dots \leq t_{m+n+1}\}$ :

$$\mathbf{D}(u) = \sum_{i=0}^m \mathbf{D}_i N_i^n(u) \implies \mathbf{D}'(u) = n \sum_{i=0}^m \frac{\mathbf{D}_i - \mathbf{D}_{i-1}}{t_{i+n} - t_i} N_i^{n-1}(u)$$

#### Knoteneinfügen (nach Böhm '80)

**Stückw. Polynom** über

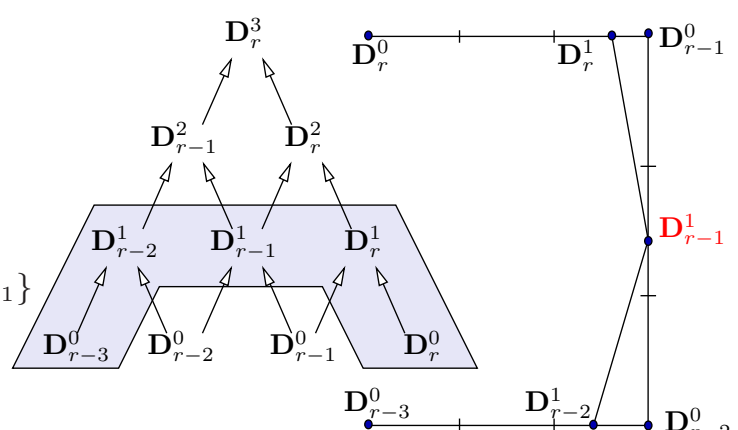
$$T = \{t_0, t_1, \dots, t_{m+n+1}\}$$

ist auch stückw. Polynom  
über

$$T^* = \{t_0, \dots, t_r, t^*, t_{r+1}, \dots, t_{m+n+1}\}$$

**Kontrollpunkte** berechnen sich  
über de Boor-Algorithmus für

$$u = t^*$$



## 3.4 Tensor-Produkt Flächen



### Idee: Tensor-Produkt Flächen

**Ausgangslage:** Kurvenschema  $\mathbf{K}(u) = \sum_{i=0}^n \mathbf{P}_i F_i(u)$

**Variation der Kontrollpunkte**  $\mathbf{P}_i$  entlang anderer Kurve

$$\mathbf{P}_i = \mathbf{P}_i(v) = \sum_{j=0}^m \mathbf{P}_{ij} F_j(v)$$

**TP-Bézier-Flächen:** I.a. werden Polynomkurven desselben Grades verwendet:

$$\mathbf{C}(u, v) = \sum_{i=0}^n \sum_{j=0}^n \mathbf{C}_{ij} B_i^n(u) B_j^n(v)$$

**TP-B-Spline-Flächen** haben i.a. unterschiedlich viele Segmente in  $u$ - und  $v$ -Richtung:

$$\mathbf{D}(u, v) = \sum_{i=0}^{m_u} \sum_{j=0}^{m_v} \mathbf{D}_{ij} N_i^n(u) N_j^n(v)$$



## 3.4 Tensor-Produkt Flächen ...

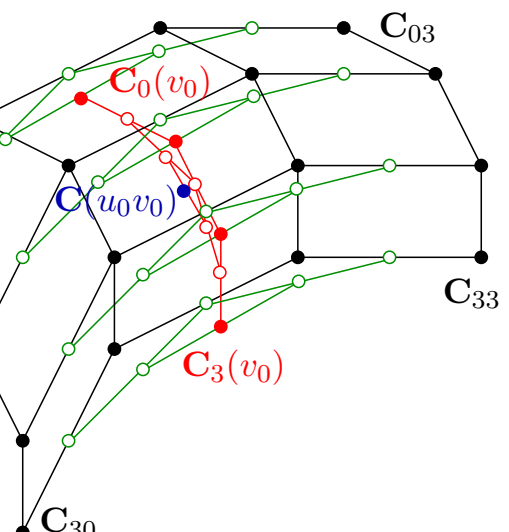


### Auswertung von Bézier-Flächen

**Zweistufiger de Casteljau:** Separate Auswertung für den Parameter  $(u_0, v_0)$ :

1.  $\forall i = 0, \dots, n : \mathbf{C}_i(v_0) = \sum_{j=0}^n \mathbf{C}_{ij} B_j^n(v_0)$
2.  $\mathbf{C}(u_0, v_0) = \sum_{i=0}^n \mathbf{C}_i(v_0) B_i^n(u_0) \mathbf{C}_{00}$

**Beachte:** Die Rolle von  $u$  und  $v$  kann vertauscht werden



## 3.4 Tensor-Produkt Flächen ...



**Bemerkung: Ableitungen von Funktionen mehrerer Veränderlicher:**

**Ableitung einer Funktion**  $f : \mathbb{R} \rightarrow \mathbb{R}$  :  $f'(u) = \frac{\partial f}{\partial u}(u) = \lim_{\delta \rightarrow 0} \frac{f(u+\delta)-f(u)}{\delta}$ .

**Ableitung einer Kurve**  $\mathbf{F} : \mathbb{R} \rightarrow \mathbb{R}^3$  :  $\mathbf{F}'(u) = \frac{\partial \mathbf{F}}{\partial u}(u) = \lim_{\delta \rightarrow 0} \frac{\mathbf{F}(u+\delta)-\mathbf{F}(u)}{\delta}$ .

**Partielle Ableitungen einer Fläche**  $\mathbf{F} : \mathbb{R}^2 \rightarrow \mathbb{R}^3$ : Leite nach einer Variablen ab, halte die andere dabei konstant.

$$\begin{aligned}\frac{\partial \mathbf{F}}{\partial u}(u, v) &:= \lim_{\delta \rightarrow 0} \frac{\mathbf{F}(u + \delta, v) - \mathbf{F}(u, v)}{\delta} \\ \frac{\partial \mathbf{F}}{\partial v}(u, v) &:= \lim_{\delta \rightarrow 0} \frac{\mathbf{F}(u, v + \delta) - \mathbf{F}(u, v)}{\delta}\end{aligned}$$

**Also:** Verwende Ableitungsregeln wie gewohnt, einmal nur für  $u$ , einmal nur für  $v$ .



## 3.4 Tensor-Produkt Flächen ...



### Eigenschaften von TP-Bézier-Flächen

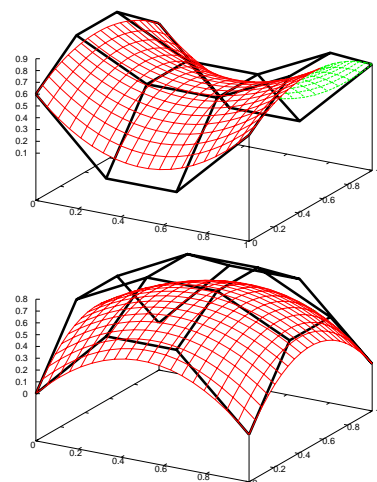
**Interpolation der Ecken:**  $\mathbf{C}(0, 0) = \mathbf{C}_{00}, \mathbf{C}(1, 0) = \mathbf{C}_{n0}, \dots$

**Ableitung:**

$$\begin{aligned}\frac{\partial \mathbf{C}}{\partial u}(u, v) &= \frac{\partial}{\partial u} \left( \sum_{i=0}^n \left( \sum_{j=0}^n \mathbf{C}_{i,j} B_j^n(v) \right) B_i^n(u) \right) \\ &= n \sum_{(i,j)=(0,0)}^{(n-1,n)} (\mathbf{C}_{i+1,j} - \mathbf{C}_{i,j}) B_i^{n-1}(u) B_j^n(v)\end{aligned}$$

$$\frac{\partial \mathbf{C}}{\partial u}(0, v) = n \sum_{j=0}^n (\mathbf{C}_{1,j} - \mathbf{C}_{0,j}) B_j^n(v)$$

$$\frac{\partial \mathbf{C}}{\partial u}(0, 0) = n (\mathbf{C}_{1,0} - \mathbf{C}_{0,0})$$



**Globaler Einfluss der  $\mathbf{C}_{ij}$ , da  $B_i^n(u) \cdot B_j^n(v) \neq 0$  auf  $(u, v) \in [0, 1]^2$**

**Affine Invarianz & konvexe Hülle** , da

$$\sum_{(i,j)} B_i^n(u) B_j^n(v) = (\sum_i B_i^n(u)) (\sum_j B_j^n(v)) = 1$$



## 3.4 Tensor-Produkt Flächen ...

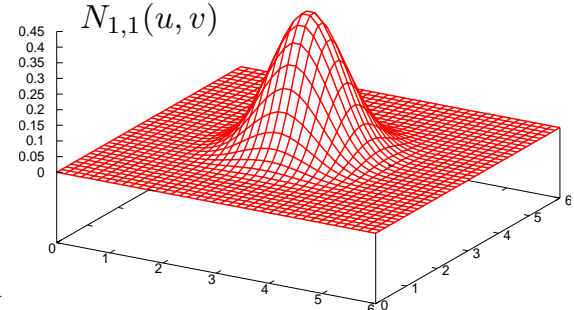
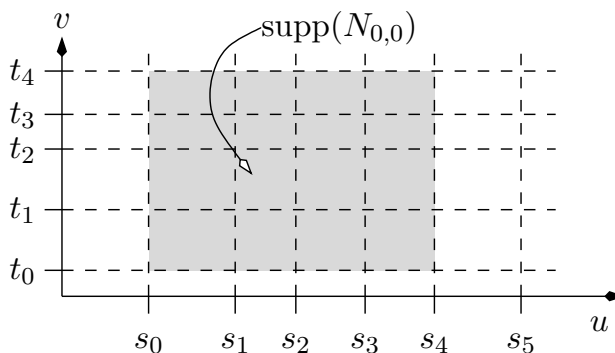


### Eigenschaften von TP-B-Spline-Flächen

**Knotenvektoren**  $S = \{s_0, s_1, \dots, s_{m_u+n+1}\}$ ,  $T = \{t_0, t_1, \dots, t_{m_v+n+1}\}$  in  $u$ - bzw.  $v$ -Richtung

**Lokaler Einfluss der  $D_{ij}$ :**  $D_{ij}$  beeinflußt  $D([s_i, s_{i+n+1}] \times [t_j, t_{j+n+1}])$ , da

$$N_{ij}(u, v) := N_i^n(u) \cdot N_j^n(v) = 0 \quad \forall (u, v) \notin [s_i, s_{i+n+1}] \times [t_j, t_{j+n+1}]$$



**Affine Invarianz und konvexe Hülle:** gelten genauso, da

$$\sum_{(i,j)} N_i^n(u) N_j^n(v) = 1 \text{ auf } [s_n, s_{n+m_u+1}] \times [t_n, t_{n+m_v+1}]$$

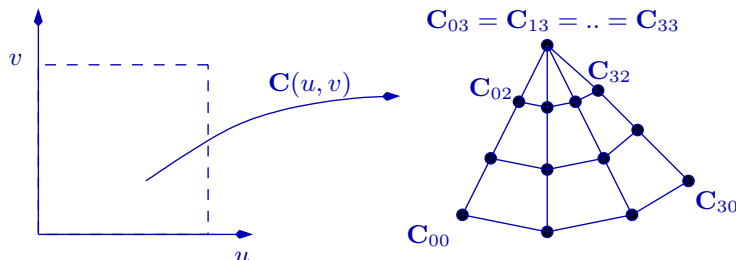


## 3.4 Tensor-Produkt Flächen ...



### TP-Bézier-Splineflächen

- Probleme:**
1. Objekte i.a nicht mit einer Bézier- oder B-Spline-Fläche modellierbar.
  2. dreiecksförmige Flächen nur mit *Singularitäten* (zusammenfallen Kontrollpunkte)
- ⇒ Verschwindende Ableitung, numerisch sehr problematisch!



**Ansatz:** Verwende mehrere Flächenstücke

**Teilaufgaben** beim Zusammenfügen von Splineflächen:

1. Kante-Kante Anschluß
2. Konfiguration um eine Ecke



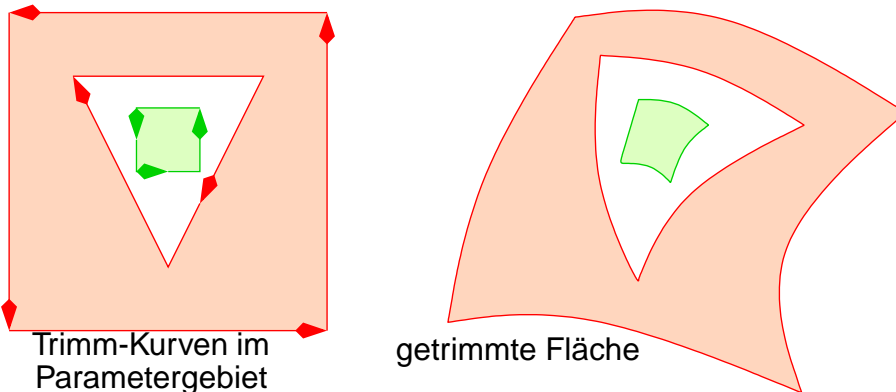
### Getrimmte Splineflächen

**Aufgabe:** Beschreibung speziell geformte Flächen, z.B. mit Löchern

**Ansatz:** Verwende nur Teilbereiche des Parametergebiet, z.B.  $[0, 1]^2$ .

**Beschreibe Teilbereiche** durch geschlossene Kurven im Parametergebiet

1. pos. orientierte Kurven definieren Innenbereich
2. neg. orientierte Kurven definieren Aussenbereich



## 3.5 Differentialgeometrie für Kurven

**Bislang:** Zusammengesetzte Kurven über  $C^k$ -Stetigkeit erklärt

**Mehrdeutigkeit:** Geometrische Form (Kurve) durch verschiedene Funktionen darstellbar:

Für  $\mathbf{C}(u), u \in [a, b]$  und bijektives  $g : [c, d] \rightarrow [a, b]$  erzeugt

$$\mathbf{D}(u) := \mathbf{C}(g(u)), \quad u \in [c, d]$$

dieselbe Geometrie, aber Ableitungen stimmen nicht überein:

Kettenregel:  $\mathbf{D}'(u) = \mathbf{C}'(g(u)) \cdot g'(u) \neq \mathbf{C}'(g(u))$  falls  $g'(u) \neq 1$

**Geometrische Stetigkeit:** Kurven  $\mathbf{C}$  und  $\mathbf{D}$  sind in  $\mathbf{D}(u_0)$   $G^k$ -stetig, falls:

$$\exists g \in C^k \text{ bijektiv}, \quad \mathbf{D}^{(i)}(u_0) = \frac{d^i}{du^i} \mathbf{C}(g(u_0)), \quad i = 0, \dots, k$$

**Konkret:**

$$G^1\text{-Stetigkeit:} \quad \mathbf{D}'(u_0) = \mathbf{C}'(g(u_0)) \cdot \gamma_1, \quad \gamma_1 > 0$$

$$G^2\text{-Stetigkeit:} \quad \mathbf{D}''(u_0) = \mathbf{C}''(g(u_0)) \cdot (\gamma_1)^2 + \mathbf{C}'(g(u_0)) \cdot \gamma_2, \quad \gamma_2 > 0$$

## 3.5 Differentialgeometrie für Kurven ...



### Definition: Geometrische Größen einer Kurve

**Ziel:** Bestimme lokales Koordinatensystems zu einer Raumkurve (Kamerafahrt).

**Gegeben:** **Raumkurve**  $C$ ,  $C^2$ -stetig mit  $C'(u)$ ,  $C''(u) \neq \vec{0}$ ,  $C'(u) \nparallel C''(u)$ ,  $\forall u$

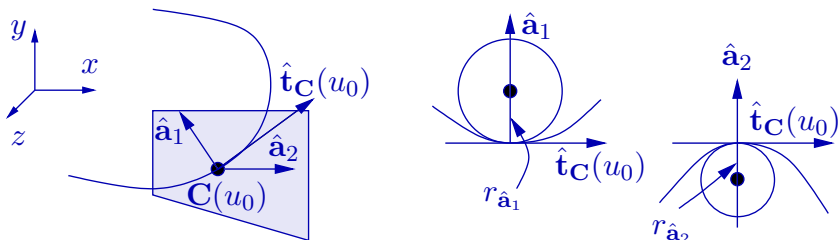
**Geometrische Größen von  $C$  in  $u_0$ :**

**Tangente**  $\hat{t}_C(u_0)$ : Weist in Bewegungsrichtung:  $\hat{t}_C(u_0) = C'(u_0) / \|C'(u_0)\|$

**Krümmung**  $\kappa_C(u_0)$ : Krümmung wird zunächst in einer Ebene

$\text{span}\{\hat{t}_C(u_0), \hat{a}\}$  mit beliebigem  $\hat{a} \perp \hat{t}_C(u_0)$

definiert als:  $\kappa_{C,\hat{a}}(u_0) = \frac{1}{r_{\hat{a}}}$ ,  $r_{\hat{a}}$  Radius des bestangepassten Kreises



## 3.5 Differentialgeometrie für Kurven ...



### Geometrische Größen einer Kurve (Fortsetzung)

**Geometrische Größen von  $C$  in  $u_0$ :**

**Normale**  $\hat{n}_C(u_0)$ : Entspricht  $\hat{a}$  mit  $\max.$

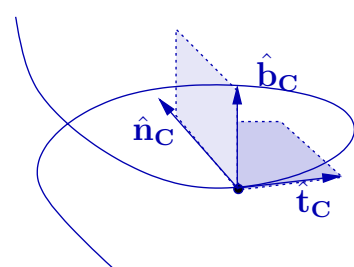
Krümmung  $\kappa_{C,\hat{a}}(u_0)$

Es gilt, dass  $\hat{n}_C(u_0) \in \text{span}\{C'(u_0), C''(u_0)\}$ .

**Krümmung:**  $\kappa_C(u_0) = \kappa_{C,\hat{n}_C(u_0)}(u_0)$

**Binormale**  $\hat{b}_C(u_0)$ : Dritter Vektor senkrecht zur Tangente und Normale:

$$\hat{b}_C(u_0) := \hat{t}_C(u_0) \times \hat{n}_C(u_0)$$



**Frenet'sche Dreibein:** Das Koordinatensystem  $\{\hat{t}_C(u_0), \hat{n}_C(u_0), \hat{b}_C(u_0)\}$  im Punkt  $C(u_0)$ .

**Krümmungsvektor:**  $\kappa_C(u_0) \cdot \hat{n}_C(u_0)$

**Schmiegebene:**  $\text{span}\{\hat{t}_C(u_0), \hat{n}_C(u_0)\}$ , lokal bestangepasste Ebene

**Normalenebene:** Ebene senkrecht zum Kurvenverlauf, also  $\text{span}\{\hat{n}_C(u_0), \hat{b}_C(u_0)\}$





### Bemerkung: Berechnung des Frenet'schen Dreibeins

Das Koordinatensystem  $\{\hat{t}_C(u_0), \hat{n}_C(u_0), \hat{b}_C(u_0)\}$  wird wie folgt ermittelt:

Tangente:  $\hat{t}_C(u_0) = \frac{\mathbf{C}'(u_0)}{\|\mathbf{C}'(u_0)\|}$

Binormale:  $\hat{b}_C(u_0) = \frac{\mathbf{C}'(u_0) \times \mathbf{C}''(u_0)}{\|\mathbf{C}'(u_0) \times \mathbf{C}''(u_0)\|}$

da  $\mathbf{C}'(u_0)$  und  $\mathbf{C}''(u_0)$  die Schmiegeebene aufspannen  
und  $\{\hat{t}_C(u_0), \hat{n}_C(u_0), \hat{b}_C(u_0)\}$  und damit auch  
 $\{\mathbf{C}'(u_0), \mathbf{C}''(u_0), \hat{b}_C(u_0)\}$  rechtshändig ist

Normale:  $\hat{n}_C(u_0) = \hat{b}_C(u_0) \times \hat{t}_C(u_0)$

(keine Normierung nötig, da beide schon orthonormal)

Krümmung:  $\kappa_C(u_0) = \frac{\|\mathbf{C}'(u_0) \times \mathbf{C}''(u_0)\|}{\|\mathbf{C}'(u_0)\|^3}$



## 3.5 Differentialgeometrie für Kurven ...



### Beispiel: Frenet'sches Dreibein einer Spirale

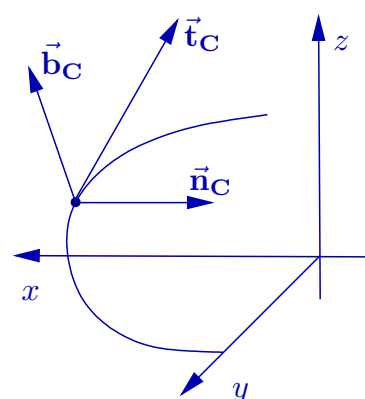
Spirale:  $\mathbf{C}(u) = \begin{pmatrix} \sin u \\ \cos u \\ u \end{pmatrix}$ ; Ableitungen:  $\mathbf{C}'(u) = \begin{pmatrix} \cos u \\ -\sin u \\ 1 \end{pmatrix}$ ;  $\mathbf{C}''(u) = \begin{pmatrix} -\sin u \\ -\cos u \\ 0 \end{pmatrix}$

Mit  $\|\mathbf{C}'(u)\| = \sqrt{2}$  und  $\mathbf{C}'(u) \times \mathbf{C}''(u) = \begin{pmatrix} \cos u \\ -\sin u \\ -1 \end{pmatrix}$  folgt:  $\hat{t}_C(u) = \frac{1}{\sqrt{2}} \begin{pmatrix} \cos u \\ -\sin u \\ 1 \end{pmatrix}$

$\hat{b}_C(u) = \frac{\mathbf{C}'(u) \times \mathbf{C}''(u)}{\|\mathbf{C}'(u) \times \mathbf{C}''(u)\|} = \frac{1}{\sqrt{2}} \begin{pmatrix} \cos u \\ -\sin u \\ -1 \end{pmatrix}$ ,  $\hat{n}_C(u) = \hat{b}_C(u) \times \hat{t}_C(u) = \begin{pmatrix} -\sin u \\ -\cos u \\ 0 \end{pmatrix}$

Für  $u = \frac{\pi}{2}$ :  $\hat{t}_C(\frac{\pi}{2}) = \frac{1}{\sqrt{2}} \begin{pmatrix} 0 \\ -1 \\ 1 \end{pmatrix}$

$\hat{n}_C(\frac{\pi}{2}) = \begin{pmatrix} -1 \\ 0 \\ 0 \end{pmatrix}$ ;  $\hat{b}_C(\frac{\pi}{2}) = \frac{1}{\sqrt{2}} \begin{pmatrix} 0 \\ -1 \\ -1 \end{pmatrix}$



## 3.6 Interpolation mit B-Splines



**Gegeben:**  $k$  Parameter  $\{u_1, \dots, u_k\}$  und zugehörige Punkte

$$\mathbf{P}_i \in \mathbb{R}^3, i = 1, \dots, k.$$

**Gesucht:** **Interpolationskurve:**  $\mathbf{C}(u)$  mit  $\mathbf{C}(u_i) = \mathbf{P}_i, i = 1, \dots, k.$

**Lösungsansätze:** Folgende Kurven-Schemata sind denkbar

1. Catmull-Rom Splines (s.o.)
2. B-Splines

**Ansatz:** Interpolation an den Knoten mit kubischen uniformen B-Splines

**Kurve:** Kubische uniforme B-Spline-Kurve  $\mathbf{D}$  mit (also  $t_i = i$ ):

$$\mathbf{D}(u) = \sum_{i=0}^m \mathbf{D}_i N_i^3(u), \quad u \in [3, m+1]$$

**Anzahl Segmente:** In  $[3, m+1]$  gibt es  $m-1$  Knoten  $i$ , d.h.

$$u_1 = 3, u_2 = 4, \dots, u_k = k+2 \stackrel{!}{=} m+1 \text{ also } u_i = i+2 \\ \Rightarrow m = k+1, \text{ aber } m+1 = k+2 \text{ Kontrollpunkte (unterbestimmt!)}$$

**Frage:** Wie sind  $\mathbf{D}_i$  zu wählen, so dass  $\mathbf{D}(u_i) = \mathbf{D}(i+2) = \mathbf{P}_i, i = 1, \dots, k?$



## 3.6 Interpolation mit B-Splines ...



**Ansatz:** Interpolation mit uniformen B-Splines (Forts.)

**Erinnerung:** Uniforme, kubische B-Splines sind stückweise  $C^2$ -stetige Bézier-Kurven

**Umrechnung:**  $\mathbf{D}(u) \rightarrow \mathbf{C}^j(u)$  für  $u \in [j, j+1]$ :

$$\begin{aligned} \mathbf{C}_1^j &= \frac{2}{3}\mathbf{D}_{j-2} + \frac{1}{3}\mathbf{D}_{j-1} \\ \mathbf{C}_2^j &= \frac{1}{3}\mathbf{D}_{j-2} + \frac{2}{3}\mathbf{D}_{j-1} \\ \mathbf{C}_0^j &= \frac{1}{2}\mathbf{C}_2^{j-1} + \frac{1}{2}\mathbf{C}_1^j \\ &= \frac{1}{6}\mathbf{D}_{j-3} + \frac{2}{3}\mathbf{D}_{j-2} + \frac{1}{6}\mathbf{D}_{j-1} \\ \mathbf{C}_3^j &= \frac{1}{2}\mathbf{C}_2^j + \frac{1}{2}\mathbf{C}_1^{j+1} \\ &= \frac{1}{6}\mathbf{D}_{j-2} + \frac{2}{3}\mathbf{D}_{j-1} + \frac{1}{6}\mathbf{D}_j \end{aligned} \quad \underbrace{\left( \begin{array}{ccccccccc} \frac{1}{6} & \frac{2}{3} & \frac{1}{6} & 0 & 0 & 0 & \cdots & 0 \\ 0 & \frac{1}{6} & \frac{2}{3} & \frac{1}{6} & 0 & 0 & \cdots & 0 \\ 0 & 0 & \frac{1}{6} & \frac{2}{3} & \frac{1}{6} & 0 & \cdots & 0 \\ \vdots & \vdots & \ddots & \ddots & \ddots & \ddots & \ddots & \vdots \\ 0 & 0 & 0 & 0 & \frac{1}{6} & \frac{2}{3} & \frac{1}{6} & 0 \\ 0 & 0 & 0 & 0 & 0 & \frac{1}{6} & \frac{2}{3} & \frac{1}{6} \end{array} \right)}_{\in \mathbb{R}^{k, k+2}} = \left( \begin{array}{c} \mathbf{D}_0 \\ \vdots \\ \mathbf{D}_{k+1} \end{array} \right) = \left( \begin{array}{c} \mathbf{P}_1 \\ \vdots \\ \mathbf{P}_k \end{array} \right)$$

**Bedingung:**  $\mathbf{P}_i = \mathbf{D}(u_i) = \mathbf{D}(i+2) = \mathbf{C}_0^{i+2} = \frac{1}{6}\mathbf{D}_{i-1} + \frac{2}{3}\mathbf{D}_i + \frac{1}{6}\mathbf{D}_{i+1}, i = 1, \dots, k$



## 3.6 Interpolation mit B-Splines ...



**Gesucht:** Kubische, uniforme B-Spline-Kurve  $\mathbf{D}$  mit:

$$\mathbf{D}(3) = \begin{pmatrix} -1 \\ 0 \end{pmatrix}, \mathbf{D}(4) = \begin{pmatrix} -1 \\ 1 \end{pmatrix}, \mathbf{D}(5) = \begin{pmatrix} 1 \\ 1 \end{pmatrix}, \mathbf{D}(6) = \begin{pmatrix} 1 \\ 0 \end{pmatrix}$$

**Lösung:** Gleichungssystem mit natürlichen Randbedingungen:

$$\begin{pmatrix} 1 & -2 & 1 & 0 & 0 & 0 \\ \frac{1}{6} & \frac{2}{3} & \frac{1}{6} & 0 & 0 & 0 \\ 0 & \frac{1}{6} & \frac{2}{3} & \frac{1}{6} & 0 & 0 \\ 0 & 0 & \frac{1}{6} & \frac{2}{3} & \frac{1}{6} & 0 \\ 0 & 0 & 0 & \frac{1}{6} & \frac{2}{3} & \frac{1}{6} \\ 0 & 0 & 0 & 1 & -2 & 1 \end{pmatrix} \begin{pmatrix} \mathbf{D}_0 \\ \mathbf{D}_1 \\ \mathbf{D}_2 \\ \mathbf{D}_3 \\ \mathbf{D}_4 \\ \mathbf{D}_5 \end{pmatrix} = \begin{pmatrix} (0, 0) \\ (-1, 0) \\ (-1, 1) \\ (1, 1) \\ (1, 0) \\ (0, 0) \end{pmatrix}$$

$$\Rightarrow \mathbf{D}_0 = \begin{pmatrix} -1/3 \\ -6/5 \end{pmatrix}, \mathbf{D}_1 = \begin{pmatrix} -1 \\ 0 \end{pmatrix}, \mathbf{D}_2 = \begin{pmatrix} -5/3 \\ 6/5 \end{pmatrix},$$

$$\mathbf{D}_3 = \begin{pmatrix} 5/3 \\ 6/5 \end{pmatrix}, \mathbf{D}_4 = \begin{pmatrix} 1 \\ 0 \end{pmatrix}, \mathbf{D}_5 = \begin{pmatrix} 1/3 \\ -6/5 \end{pmatrix}$$

